



**Provincia di Lecce - Servizio Tutela e Valorizzazione Ambiente**

**Studio di dispersione in atmosfera degli inquinanti  
derivanti dall'impianto di fusione di Alluminio di  
proprietà della Ruggeri Service S.p.A., sita in Muro  
Leccese (Le), S.S. 275 Maglie – Leuca km2,9  
(Revisione 6)**

Proponente: RUGGERI SERVICE SpA

San Pietro Vernotico, 20/06/2023

Il Direttore del Laboratorio

Dott. Vincenzo Cagnazzo  
(Chimico)  
OdC di Br-Le sez.B 270



## Indice

|   |        |
|---|--------|
| 1 Premessa.....                                     | Pag.3  |
| 2 Presentazione Calpuff .....                       | Pag.3  |
| 3 Breve descrizione del ciclo produttivo .....      | Pag.4  |
| 4 Analisi degli inquinanti emessi .....             | Pag.5  |
| 5 Caratteristiche dei punti emissivi .....          | Pag.10 |
| 6 Concentrazione degli inquinanti aerodiffusi ..... | Pag.11 |
| 7 Dati Meteorologici.....                           | Pag.11 |
| 8 Parametri del modello sviluppato.....             | Pag.16 |
| 9 Risultati .....                                   | Pag.19 |
| 10 Conclusioni.....                                 | Pag.39 |

## ALLEGATI:

- **Allegato I e IA le mappe con isolinee prodotte nello studio**
- **file Excel "Foglio di calcolo diffusione Ruggeri" con i calcoli relativi allo studio**



## 1. Premessa

Il presente studio completa l'istruttoria della pratica di AIA riguardante gli effetti cumulativi dell'impianto produttivo di proprietà della Committente.

Obiettivo dello studio di simulazione della dispersione degli inquinanti in atmosfera è di determinare l'impatto ambientale delle emissioni sul territorio, fine che viene raggiunto grazie all'ausilio di modelli matematici.

Tramite l'applicazione del modello di dispersione atmosferica è possibile determinare la concentrazione degli inquinanti.

I risultati delle simulazioni come concentrazioni orarie, medie giornaliere, medie annuali, percentili di concentrazione permettono di effettuare i dovuti confronti con i limiti di legge imposti dal DLgs 155 del 13 agosto 2010.

Lo scopo del presente studio è quello di valutare l'impatto potenziale sullo stato di qualità dell'aria ambiente dovuto alle emissioni in atmosfera provenienti dal sito industriale.

Per la simulazione della dispersione degli inquinanti è stato utilizzato un modello tridimensionale tipo CALPUFF su un periodo di un anno solare.

## 2. Presentazione di CALPUFF

CALPUFF è un modello raccomandato dall'EPA con cui è possibile simulare la dispersione, il trasporto e la rimozione degli inquinanti nell'aria al variare delle condizioni meteo, considerando al contempo l'impatto degli stessi inquinanti con il suolo.

Tale modello inoltre è stato inserito nell'elenco dei modelli consigliati da APAT relativamente alla gestione della qualità dell'aria.

L'elemento essenziale su cui si basa questa famiglia di modelli è il fatto di ritenere che qualsiasi emissione di inquinante da parte di una sorgente posta in un punto  $P(x,y,z)$  dello spazio ed al tempo  $t$  possa essere vista come l'emissione in successione di una sequenza di *piccoli sbuffi di gas* (*puff* appunto) ciascuno indipendente dall'altro. Tali porzioni di gas, una volta emessi, evolvono indipendentemente nello spazio e nel tempo in base alle caratteristiche di spinta acquisite all'emissione, in base alle condizioni meteorologiche medie ed in base alla turbolenza che incontrano nel loro cammino.

In pratica, un generico Modello Puff segue e studia l'evoluzione nello spazio e nel tempo di ogni *puff* emesso da ciascuna sorgente presente in un dato dominio di calcolo, calcolando la traiettoria del baricentro di ciascuno e la rispettiva diffusione turbolenta.

il *puff* è una "*particella* di aria" caratterizzata dalla presenza dell'inquinante nel suo interno. Dal punto di vista concettuale, ciascun *puff* incontra lungo il suo



cammino un campo di vento medio, in generale variabile nello spazio e nel tempo, che ne determina il *trasporto* e la variazione delle sue dimensioni.

Si prende come riferimento spaziale un dominio di calcolo tridimensionale entro cui seguire e studiare l'evoluzione dei vari *puff* che vengo emessi.

Anche se lo studio della traiettoria dei *puff* non richiede una *grigliatura* del dominio di calcolo, tuttavia per la determinazione delle concentrazioni al suolo dell'inquinante che si sta considerando, è necessario poter disporre almeno di una griglia bidimensionale localizzata alla superficie inferiore del dominio di calcolo (suolo) ai cui nodi verrà stimata la concentrazione di inquinante dovuta a tutti i *puff* presenti nel dominio ai vari istanti considerati.

Va comunque sottolineato che il funzionamento di qualsiasi modello *puff* è subordinato alla conoscenza del campo di vento medio e del campo di turbolenza, campi che potranno solo derivare dall'impiego *esterno* di opportuni modelli di *PBL* (prognostici o diagnostici) i quali richiedono inevitabilmente una griglia di calcolo. Essa potrà essere a priori qualsiasi, purché contenga il dominio di calcolo usato per il modello *puff*.

### 3. Breve descrizione del ciclo produttivo

L'attività svolta nel sito in questione riguarda la fusione e lega di metalli non ferrosi, compresi i prodotti di recupero (affinazione, formatura in fonderia) con una capacità di fusione superiore a 4 tonnellate/giorno per il cadmio e il piombo o a 20 tonnellate/giorno per tutti gli altri metalli.

L'area dello stabilimento si estende su una superficie di circa 5 ettari.

L'emissione e la diffusione in atmosfera di particolato e altri composti inquinanti liberati durante la fasi della lavorazione viene mitigata dall'utilizzo di idonei impianti e sistemi di abbattimento. L'insediamento è costituito dall'impianto di fusione (forno fusorio) e da tutta una serie di altri impianti ed apparecchiature (laminazione, trattamento termico) atte alla produzione di materiali metallici e semilavorati non ferrosi di alluminio.

Nell'area si muovono mezzi pesanti che trasportano il materiale e altre macchine operatrici che vengono utilizzate per operazioni di ingresso materiali e uscita semilavorati e coil e per spostamenti vari annessi al processo.

### 4. Analisi degli inquinanti emessi



Lo scopo di questo lavoro è quello di valutare l'impatto degli inquinanti eventualmente emessi dallo stabilimento sull'ambiente circostante, valutando i tempi e le distanze di ricaduta e l'accumulo degli stessi.

I parametri sottoposti ad elaborazione statistica sono i seguenti:

Polveri totali emesse in atmosfera nei vari cicli di lavorazione così come proposto nell'Elaborato Tecnico proposto dalla Ditta ai fini del procedimento AIA.

Oltre al particolato totale, sono stati considerati anche monossido di carbonio, ossidi di azoto (NO<sub>x</sub>), Sostanze Organiche Volatili / Carbonio Organico Totale (SOV/COT).

Per quanto riguarda la diffusione dei metalli pesanti delle Policlorodibenzodiossine/Furani (PCDD/F) rinvenuti dal camino E1, si è valutato che essa segua la diffusione del particolato totale e pertanto, l'abbattimento di tali parametri seguiranno quello del particolato. È noto infatti, dalla letteratura come sia i metalli che le PCDD/F, siano veicolati in larga parte dalla diffusione del particolato in quanto costituenti dello stesso (metalli) o adsorbiti ad esso (PCDD/F). Lo stesso aerosol, composto da acqua finemente vaporizzata spesso contiene micro e nano particelle di particolato che possono essere vettori dei contaminanti di cui sopra. Identica valutazione è stata fatta per quanto riguarda gli acidi inorganici (HCl, HF) e l'Ammoniaca (NH<sub>3</sub>) assimilabili alla diffusione degli NO<sub>x</sub>, ragionando questa volta sulle caratteristiche chimiche di tali composti gassosi; infatti se nel caso degli acidi inorganici, questi hanno appunto caratteristiche simili agli NO<sub>x</sub> (anch'essi a carattere acido, nel caso dell'NH<sub>3</sub>, pur avendo caratteristiche di base inorganica, il suo carattere gassoso e il suo chimismo, permettono di assimilare il suo comportamento a quello degli inquinanti acidi per quanto concerne la sua diffusione nelle emissioni. Infatti in tutti i casi descritti si può pensare che i modi di diffusione siano i medesimi: diffusione gassosa tout-court, dissoluzione nell'aerosol atmosferico, adesione al particolato mediante forze elettrostatiche sia pur per motivi chimici differenti (composti acidi e base)

Il contributo emissivo dovuto alla presenza di mezzi pesanti e macchine operatrici alimentati a nafta è considerato trascurabile.

I dati di calcolo utilizzati per la simulazione, sia pur esistenti i dati reali rilevati in campo con la sola esclusione del camino dell'impianto di abbattimento del mulino frantumatore e il camino dell'impianto di trattamento dell'atmosfera interna al locale di deposito delle scorie e schiumature di alluminio in via di autorizzazione e per il quale si sono utilizzati i dati ricavabili dalle schede dei fornitori degli impianti di trattamento, sono i limiti imposti dalla esistente AIA e, per i punti di emissione non ancora autorizzati, sono stati utilizzati valori assimilabili all'autorizzazione stessa.

Di seguito vengono riportati per ogni impianto, sia esistente che in fase di autorizzazione, gli inquinanti emessi ciascuno con le concentrazioni medie di emissione, con i relativi flussi di massa e i limiti previsti dall'autorizzazione esistente, quelli proposti da Arpa Puglia e quelli dichiarati dai fornitori degli impianti di abbattimento.



| <b>CARATTERISTICHE FLUIDODINAMICHE</b>                  | <b>Camino E1</b> | <b>Camino E2</b> | <b>Camino E3</b> | <b>Camino E4</b>     | <b>Camino E5</b>     |
|---|------------------|------------------|------------------|----------------------|----------------------|
| <b>Valori medi</b>                                      |                  |                  |                  |                      |                      |
| UNI EN ISO 16911:2013                                   |                  |                  |                  | <b>(da progetto)</b> | <b>(da progetto)</b> |
| Temperatura fumi (°C)                                   | 80               | 475              | 25               | 25                   | 25                   |
| Velocità media fumi (m/s)                               | 11               | 18               | 21               | 15                   | 19                   |
| Sezione camino (m <sup>2</sup> )                        | 2,543            | 0,196            | 0,141            | 0,385                | 0,152                |
| Portata massima media (m <sup>3</sup> /h)               | 232750           | 13000            | 10631            | 20000                | 10000                |
| Portata massima media normalizzata (Nm <sup>3</sup> /h) | 180000           | 4745             | 9739             | 18322                | 9161                 |
| Densità dei fumi secchi (kg/m <sup>3</sup> )            | 0,995            | 0,300            | 1,183            | 1,183                | 1,183                |
| Flusso di massa (kg/h)                                  | 109450           | 3900             | 12576            | 23660                | 11830                |

| Nome Parametro e metodo analitico   | Concentrazioni medie mg/Nm <sup>3</sup> | Flussi di massa medi g/h | Limiti emissivi mg/Nm <sub>3</sub> | Flussi di massa ai limiti emissivi g/h |
|---|---|--------------------------|------------------------------------|--|
| <b>CAMINO E1</b>  |   |                          |                                    |  |
| <b>POLVERI TOTALI IN ISOCINETISMO</b><br>UNI EN 13284-1:2017  | 0,90                                    | 99                       | 10                                 | 1800                                   |
| <b>OSSIDI DI ZOLFO (SO<sub>x</sub> come SO<sub>2</sub>)</b><br>UNI EN 14791:2017  | 10                                      | 1100                     | 35                                 | 6300                                   |
| <b>OSSIDI DI AZOTO (NO<sub>x</sub> come NO<sub>2</sub>)</b><br>UNI EN 14792:2017  | 30                                      | 3300                     | 100                                | 18000                                  |
| <b>ACIDO CLORIDRICO (HCl)</b><br>UNI EN 1911:2010   | 0,30                                    | 33                       | 5                                  | 9000                                   |
| <b>ACIDO FLUORIDRICO (HF)</b><br>ISO15713 :2006   | <0,01                                   | <1,1                     | 1                                  | 180                                    |
| <b>SOSTANZE ORGANICHE TOTALI - SOT</b><br>(come Carbonio Organico Totale -TOC)<br>UNI CEN/TS 13649: 2015 / UNI EN 12619: 2013 | 0,02                                    | 2,2                      | 50                                 | 90000                                  |
| <b>MONOSSIDO DI CARBONIO (CO)</b><br>UNI EN 15058:2006  | 20                                      | 2200                     | 100                                | 18000                                  |
| <b>AMMONIACA (NH<sub>3</sub>)</b><br>EPA CTM-027 :1997  | 2                                       | 220                      | 10<br>(ipotizzato)                 | 1800<br>(ipotizzato)                   |



|   |                            |                      |                           |           |
|---|----------------------------|----------------------|---------------------------|-----------|
| <b>SPECIE METALLICHE</b><br><b>Composti solidi o gassosi</b><br><i>UNI EN 13284 : 2017; UNI EN 14385 : 2004</i> |                            |                      |                           |           |
| <i>SOMMATORIA Cd – Tl</i>   | <0,01                      | <1,1                 | 0,05                      | 9         |
| <i>Cd</i>   | <0,01                      | <1,1                 |                           |           |
| <i>Tl</i>   | <0,01                      | <1,1                 |                           |           |
| <i>SOMMATORIA Sb, As, Pb, Cr, Co, Cu, Mn, Ni, V</i>   | 0,05                       | 5,5                  | 0,5                       | 90        |
| <i>Sb</i>   | <0,01                      | <1,1                 |                           |           |
| <i>As</i>   | <0,01                      | <1,1                 |                           |           |
| <i>Pb</i>   | <0,01                      | <1,1                 |                           |           |
| <i>Cr</i>   | 0,01                       | 1,1                  |                           |           |
| <i>Co</i>   | <0,01                      | <1,1                 |                           |           |
| <i>Cu</i>   | 0,01                       | 1,1                  |                           |           |
| <i>Mn</i>   | 0,02                       | 2,2                  |                           |           |
| <i>Ni</i>   | <0,01                      | <1,1                 |                           |           |
| <i>V</i>  | <0,01                      | <1,1                 |                           |           |
| <i>MERCURIO–Hg</i><br><i>UNI EN 13211 : 2003</i>  | <0,0005                    | <0,055               | 0,05                      | 9         |
| <b>IDROCARBURI POLICICLICI AROMATICI (IPA)</b><br><i>ISO 11338-1,2:2003</i>                                     | 0,0003                     | 0,033                | 0,01                      | 1,8       |
| <b>POLICLORO DIBENZO-<i>p</i>-DIOSSINE / DIBENZOFURANI (PCDD/F)</b><br><i>UNI EN1948-1,2,3: 2006</i>            | 0,02 (ng/Nm <sub>3</sub> ) | 2,2 (µg/h)           | 0,4 (ng/Nm <sub>3</sub> ) | 72 (µg/h) |
| <b>POLICLOROBIFENILI (PCB)</b><br><i>UNI EN1948-1,2: 2006 + UNI EN1948-4: 2010</i>                              | 4,0x10 <sup>-7</sup>       | 4,4x10 <sup>-5</sup> | 0,5                       | 90        |

| Nome Parametro e metodo analitico   | Concentrazioni medie mg/Nm <sub>3</sub> | Flussi di massa medi g/h | Limiti emissivi mg/Nm <sub>3</sub> | Flussi di massa ai limiti emissivi g/h |
|---|---|--------------------------|------------------------------------|--|
| <b>CAMINO E2</b>  |   |                          |                                    |  |
| <b>POLVERI TOTALI IN ISOCINETISMO</b><br><i>UNI EN 13284-1:2017</i>                     | 0,20                                    | 2,6                      | 10                                 | 50                                     |
| <b>OSSIDI DI ZOLFO (SO<sub>x</sub> come SO<sub>2</sub>)</b><br><i>UNI EN 14791:2017</i> | 6                                       | 78                       | 35                                 | 175                                    |
| <b>OSSIDI DI AZOTO (NO<sub>x</sub> come NO<sub>2</sub>)</b><br><i>UNI EN 14792:2017</i> | 25                                      | 325                      | 100                                | 500                                    |
| <b>ACIDO CLORIDRICO (HCl)</b><br><i>UNI EN 1911:2010</i>                                | <0,01                                   | <0,13                    | 5                                  | 25                                     |



|   |                             |                      |                           |                    |
|---|-----------------------------|----------------------|---------------------------|--------------------|
| <b>ACIDO FLUORIDRICO (HF)</b><br>ISO15713 :2006   | <0,01                       | <0,13                | 1                         | 5                  |
| <b>SOSTANZE ORGANICHE TOTALI - SOT</b><br>(come Carbonio Organico Totale -TOC)<br>UNI CEN/TS 13649: 2015 / UNI EN 12619: 2013 | 0,0003                      | 0,004                | 50                        | 250                |
| <b>MONOSSIDO DI CARBONIO (CO)</b><br>UNI EN 15058:2006  | 5                           | 65                   | 100                       | 500                |
| <b>AMMONIACA (NH<sub>3</sub>)</b><br>EPA CTM-027 :1997  | <0,01                       | <0,13                | 10<br>(ipotizzato)        | 50<br>(ipotizzato) |
| <b>SPECIE METALLICHE</b><br><b>Composti solidi o gassosi</b><br>UNI EN 13284 : 2017; UNI EN 14385 : 2004                      |                             |                      |                           |                    |
| <b>SOMMATORIA Cd – Tl</b>   | <0,01                       | <0,13                | 0,05                      | 0,25               |
| <b>SOMMATORIA Sb, As, Pb, Cr, Co, Cu, Mn, Ni, V</b>   | <0,01                       | <0,13                | 0,5                       |                    |
| <b>MERCURIO–Hg</b><br>UNI EN 13211 : 2003   | <0,0005                     | <0,0065              | 0,05                      |                    |
| <b>IDROCARBURI POLICICLICI AROMATICI (IPA)</b><br>ISO 11338-1,2:2003  | 0,00003                     | 0,00039              | 0,01                      | 0,05               |
| <b>POLICLORO DIBENZO-<i>p</i>-DIOSSINE / DIBENZOFURANI (PCDD/F)</b><br>UNI EN1948-1,2,3: 2006                                 | 0,001 (ng/Nm <sub>3</sub> ) | 0,013 (µg/h)         | 0,4 (ng/Nm <sub>3</sub> ) | 2 (µg/h)           |
| <b>POLICLOROBIFENILI (PCB)</b><br>UNI EN1948-1,2: 2006 + UNI EN1948-4: 2010   | 2,0x10 <sup>-10</sup>       | 2,6x10 <sup>-9</sup> | 0,5                       | 2,5                |

| Nome Parametro e metodo analitico  | Concentrazioni medie mg/Nm <sub>3</sub> | Flussi di massa medi g/h | Limiti emissivi mg/Nm <sub>3</sub> | Flussi di massa ai limiti emissivi g/h |
|--|---|--------------------------|------------------------------------|--|
| <b>CAMINO E3</b>   |   |                          |                                    |  |
| <b>POLVERI TOTALI IN ISOCINETISMO</b><br>UNI EN 13284-1:2017                     | <0,01                                   | <0,11                    | 10                                 | 100                                    |
| <b>OSSIDI DI ZOLFO (SO<sub>x</sub> come SO<sub>2</sub>)</b><br>UNI EN 14791:2017 | 2                                       | 21,26                    | 35                                 | 350                                    |
| <b>OSSIDI DI AZOTO (NO<sub>x</sub> come NO<sub>2</sub>)</b>                      | 1                                       | 10,63                    | 100                                | 1000                                   |





|  |                             |                      |                           |      |
|--|-----------------------------|----------------------|---------------------------|------|
| UNI EN 14792:2017  |                             |                      |                           |      |
| <b>ACIDO CLORIDRICO (HCl)</b><br>UNI EN 1911:2010  | <0,01                       | <0,11                | 5                         | 50   |
| <b>ACIDO FLUORIDRICO (HF)</b><br>ISO15713 :2006  | <0,01                       | <0,11                | 1                         | 10   |
| <b>SOSTANZE ORGANICHE TOTALI - SOT</b><br><i>(come Carbonio Organico Totale -TOC)</i><br>UNI CEN/TS 13649: 2015 / UNI EN 12619: 2013 | 0,00002                     | 0,0002               | 50                        | 500  |
| <b>MONOSSIDO DI CARBONIO (CO)</b><br>UNI EN 15058:2006   | 5                           | 53,16                | 100                       | 1000 |
| <b>AMMONIACA (NH<sub>3</sub>)</b><br>EPA CTM-027 :1997   | <0,01                       | <0,11                | 10                        | 100  |
| <b>SPECIE METALLICHE</b><br><i>Composti solidi o gassosi</i><br>UNI EN 13284 : 2017; UNI EN 14385 : 2004                             |                             |                      |                           |      |
| <i>SOMMATORIA Cd – Tl</i>  | <0,001                      | <0,011               | 0,05                      | 0,5  |
| <i>SOMMATORIA Sb, As, Pb, Cr, Co, Cu, Mn, Ni, V</i>  | <0,001                      | <0,011               | 0,5                       | 5    |
| <i>MERCURIO–Hg</i><br>UNI EN 13211 : 2003  | <0,0005                     | <0,0053              | 0,05                      | 0,5  |
| <b>IDROCARBURI POLICICLICI AROMATICI (IPA)</b><br>ISO 11338-1,2:2003   | 0,00001                     | 0,00011              | 0,01                      | 0,1  |
| <b>POLICLORO DIBENZO-<i>p</i>-DIOSSINE / DIBENZOFURANI (PCDD/F)</b><br>UNI EN1948-1,2,3: 2006  | 0,001 (ng/Nm <sub>3</sub> ) | 0,011 (µg/h)         | 0,4 (ng/Nm <sub>3</sub> ) | 4    |
| <b>POLICLOROBIFENILI (PCB)</b><br>UNI EN1948-1,2: 2006 + UNI EN1948-4: 2010  | 1,0x10 <sup>-10</sup>       | 1,1x10 <sup>-9</sup> | 0,5                       | 5    |

| Nome Parametro e metodo analitico                            | Concentrazioni medie mg/Nm <sub>3</sub> | Flussi di massa medi g/h |
|--|---|--------------------------|
| <b>CAMINO E4 (valori da progetto)</b>                        |   |                          |
| <b>POLVERI TOTALI IN ISOCINETISMO</b><br>UNI EN 13284-1:2017 | 5                                       | 100                      |



| Nome Parametro e metodo analitico                                   | Concentrazioni medie mg/Nm <sup>3</sup> | Flussi di massa medi g/h | Limiti emissivi mg/Nm <sup>3</sup> (da altri p.ti emissivi) | Flussi di massa ai limiti emissivi g/h |
|---|---|--------------------------|---|--|
| <b>CAMINO E5 (valori da progetto)</b>                               |   |                          |   |  |
| <b>POLVERI TOTALI IN ISOCINETISMO</b><br><i>UNI EN 13284-1:2017</i> | 5                                       | 50                       | 10  | 100                                    |
| <b>AMMONIACA (NH<sub>3</sub>)</b><br><i>EPA CTM-027 :1997</i>       | 5                                       | 50                       | 10  | 100                                    |

## 5. Caratteristiche dei punti emissivi

L'impianto è stato considerato nella sua componente di sorgenti di emissione puntiformi di cui è stato considerato l'effetto cumulativo. Anche la presenza dei mezzi di lavoro è da considerarsi come fonte di emissioni diffuse poiché trattasi di mezzi mobili e non installazioni fisse, ma dato il numero non particolarmente elevato, è stato considerato trascurabile. Infine, nella valutazione delle emissioni convogliate è stato considerato anche il contributo derivante dalla presenza futura di un mulino frantumatore per il rottami che vengono avviati a fusione e il contributo derivante dall'emissione convogliata del deposito scorie e schiumature di prossima realizzazione.

I tempi di lavoro tipici sono 3 turni al giorno per 330 giorni all'anno.

Qui di seguito riportiamo l'elenco dei punti di emissione così come riportati all'interno dell'elaborato tecnico, a cui si rimanda per i parametri autorizzati per ogni singola sorgente emissiva.

| Punto emissione                 | Coordinate geografiche        | Altezza sul s.l.m. |
|---------------------------------|-------------------------------|--------------------|
| <b>Impianto Ruggeri Service</b> |                               | (m)                |
|                                 | 40° 6'4.85"N<br>18° 19'5.82"E | 80 circa           |

| Punto di emissione                   | Coordinate geografiche      | Altezza camino dal p.c. (m) | Diametro camino (m) |
|--------------------------------------|-----------------------------|-----------------------------|---------------------|
| - E1 Forno fusorio                   | 40° 06'2.64"N, 18°19'4.92"E | 20,00                       | 1,80                |
| - E2 Forno omogeneizzazione          | 40° 6'2.58"N, 18°19'3.72"E  | 13,50                       | 0,50                |
| - E3 Aspirazione vapore di colata    | 40° 6'3.12"N, 18°19'5.07"E  | 13,50                       | 0,44                |
| - E4 Mulino di frantumazione rottame | 40° 6'4.41"N, 18°19'7.84"E  | 10,00                       | 0,70                |
| - E5 Stoccaggio schiumature          | 40° 06'4.26"N, 18°19'7.95"E | 12,00                       | 0,50                |



Sono stati individuati vari recettori, quali eventuali siti che potrebbero essere direttamente interessati dalle eventuali ricadute degli inquinanti provenienti dagli impianti Ruggeri. Tali recettori, rappresentati da case sparse e insediamenti abitativi si trovano a distanze che vanno tra i 250 e gli 800 metri. Questi recettori sono stati individuati nella prossimità dei primi complessi abitativi rispetto al sito Ruggeri. Ad una distanza di circa 850-900 metri verso Nord Est e i 1800 metri a Sud Est, si estende il centro abitato di Muro Leccese, mentre a circa 1500 metri a Sud Ovest si estende il centro abitato di Scorrano e in direzione Nord Ovest troviamo i primi insediamenti di Maglie  
Di seguito l'elenco dei recettori.

- A) 320m dir. SSW – Case sparse
- B) 420m dir. S - Case sparse
- C) 520m dir. SW - Case sparse
- D) 300m dir. SE - Case sparse
- E) 400m dir. ESE - Case sparse
- F) 260m dir. E - Case sparse
- G) 290m dir. NNE - Case sparse
- H) 600m dir. W - Case sparse
- I) 600m dir. S - Case sparse
- J) 800m dir. E - Case sparse
- K) 350m dir. NW – insediamento abitativo

## **6. Concentrazione degli inquinanti aerodiffusi**

I parametri valutati nel presente elaborato, come si diceva sopra sono quelli riportati nella relazione tecnica nell'ambito del procedimento AIA.

Nello studio effettuato si è deciso di seguire una via cautelativa riguardo i parametri analizzati; in particolare si è considerato come valore emissivo per i vari parametri lo stesso limite proposto in relazione, confrontando poi le concentrazioni calcolate su ogni recettore con i limiti riportati nel D.Lgs 155/10.

## **7. Dati meteorologici**

I software di simulazione di dispersione di inquinanti in atmosfera tipo AERMOD / CALPUFF necessitano in ingresso di misure meteorologiche al suolo con risoluzione oraria e di almeno un profilo verticale con risoluzione temporale non superiore alle 12 ore.

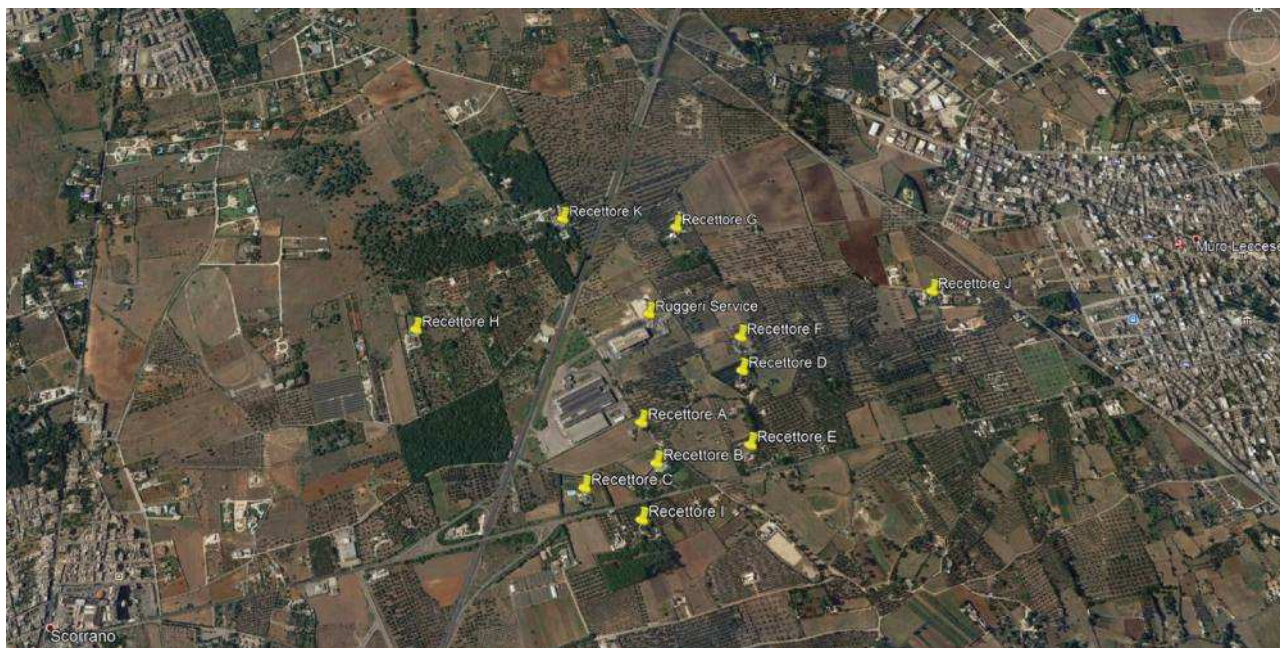
I dati in formato AERMOD per MMS CALPUFF sono stati ricostruiti, per il sito richiesto, attraverso interpolazione "mass consistent" con risoluzione orizzontale di 4000 m dei dati meteorologici misurati nelle stazioni SYNOP-ICAO presenti



nell'area SUD-Adriatica, rispetto all'installazione industriale ad una distanza di circa 6km.

I dati estrapolati sono relativi all'intero anno 2019 considerati dal punto di vista meteorologico come un anno standard.

Il campi anemologici ricostruiti sono stati utilizzati anche per determinare la rosa dei venti relativa all'impianto Ruggeri per l'anno solare. La rosa dei venti così ottenuta viene riportata qui di seguito e si riferisce al vento a 10 m sopra il suolo. Come si può facilmente notare, le due direzioni di provenienza del vento più frequenti sono, nell'ordine, la NNW e S, con prevalenza della prima direzione per l'anno solare preso in considerazione. L'intervallo di velocità del vento più frequente e quello compreso tra i 2 e gli 6m/s.



Di seguito riportiamo i dati meteorologici riguardanti l'anno 2019.



## Report fornitura dati meteorologici in formato MMS CALPUFF

Località Muro Leccese (LE)  
Periodo Anno 2019

### Caratteristiche del dominio richiesto

Origine SW  $x = 261905.00$  m E -  $y = 4432953.00$  m N UTM fuso 34 – WGS84  
Dimensioni orizzontali totali 20 km x 20 km  
Risoluzione orizzontale (dimensioni griglia)  $dx = dy = 1000$  m  
Risoluzione verticale (quota livelli verticali) 0-20-50-100-200-500-1000-2000-4000 m sul livello del suolo

### Caratteristiche del punto richiesto

Coordinate  $40.101344^{\circ}$ N -  $18.318181^{\circ}$ E gradi decimali – WGS84  
Cella del dominio: (10,10)





### Stazioni meteorologiche utilizzate

#### Stazioni sinottiche

- stazioni di superficie SYNOP ICAO (\*)  
LECCE LIBN 163320 [40.238992°N - 18.133000°E]  
OTRANTO 163340 [40.099992°N - 18.482995°E]  
SANTA MARIA DI LEUCA LIBY 163600 [39.816996°N - 18.349996°E]
- stazione radiosondaggi SYNOP ICAO  
16320 - Brindisi-Casale profilo [40.649983°N - 17.949998°E]

#### Profili verticali ricavati dal modello di calcolo europeo ECMWS – Progetto Era5

Non utilizzati

#### Stazioni sito specifiche da reti regionali/provinciali

Galatina [40.168434°N - 18.172478°E] rete ARPA Puglia

#### Stazioni private fornite da richiedente

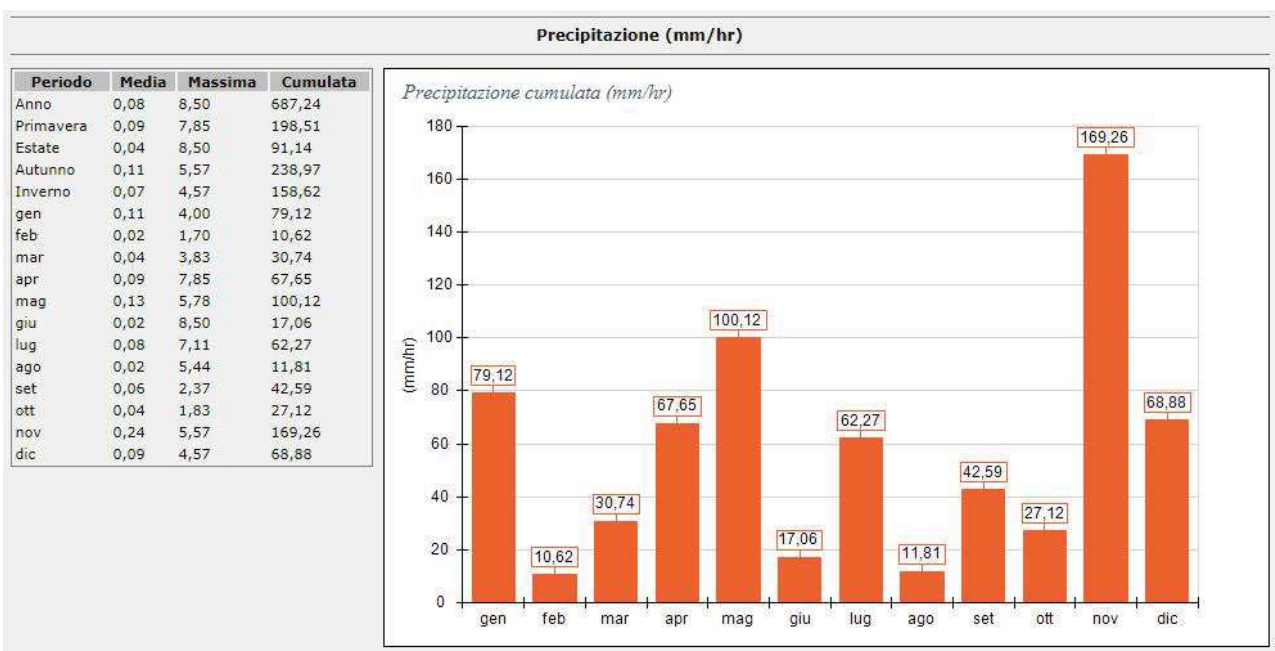
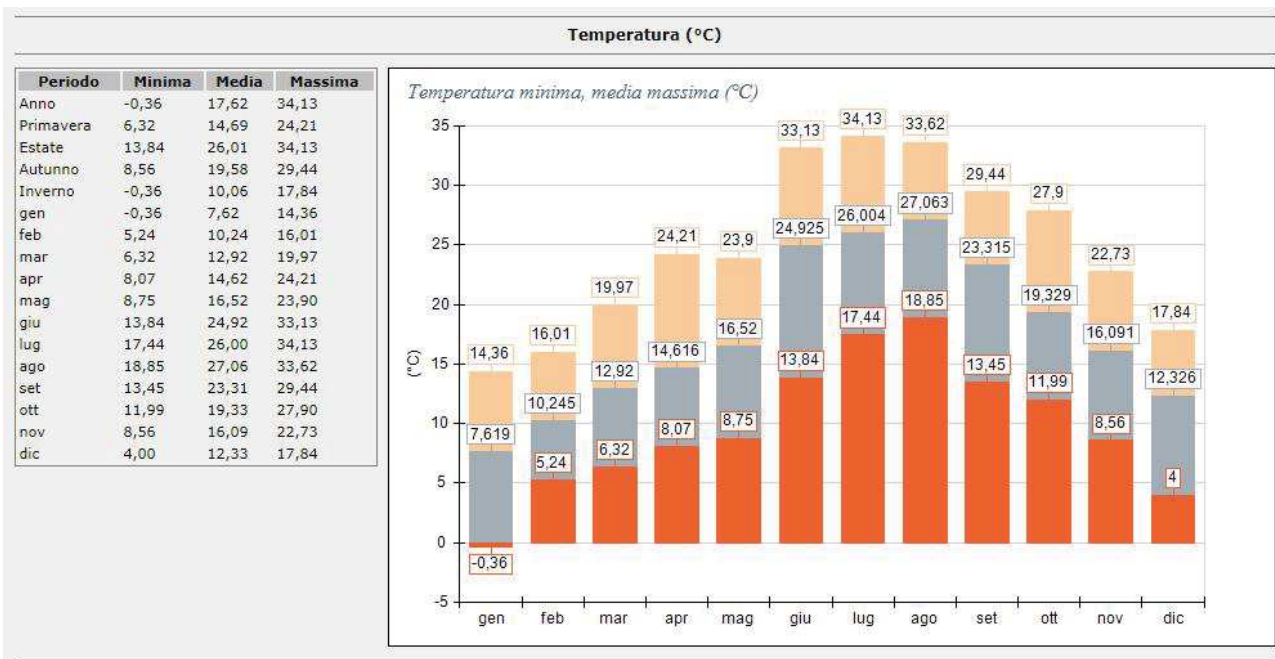
- Non pervenute

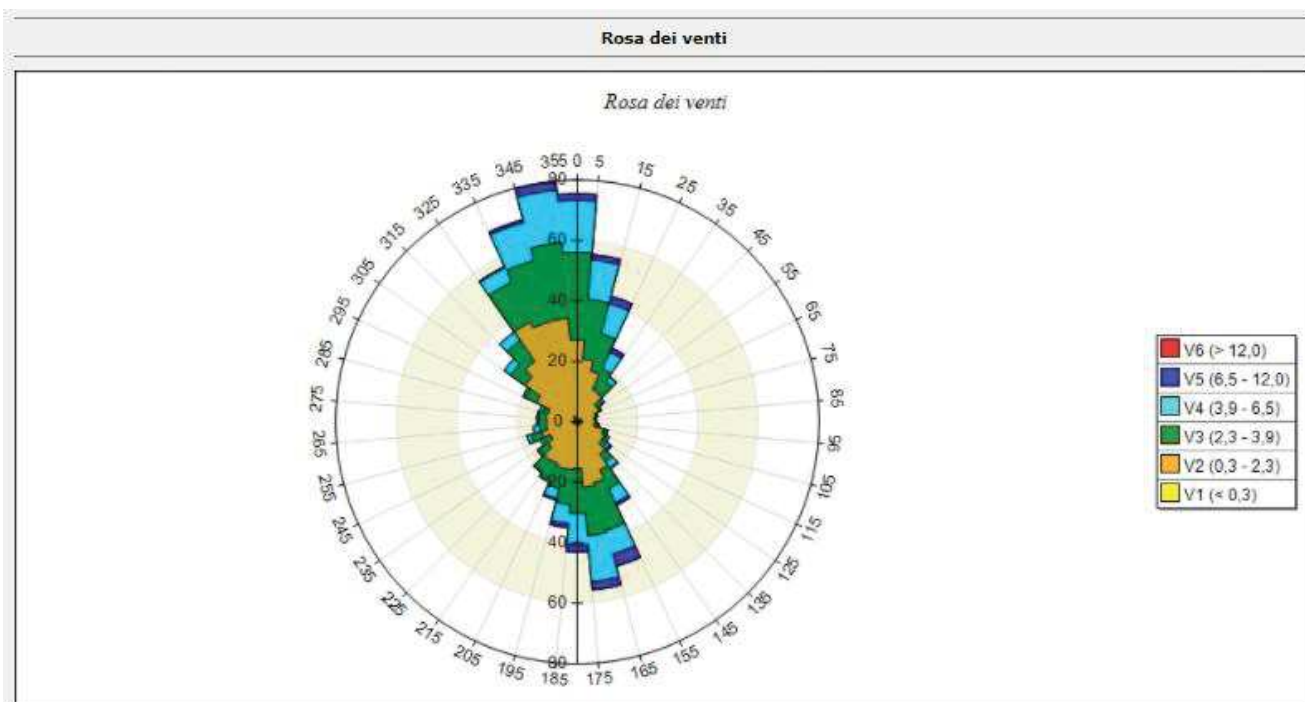


### Informazioni di base sui dati meteo



| Elemento                      | Valore  |
|-------------------------------|---|
| Tipologia dati meteorologici  | CALMET 3D file meteorologico  |
| Periodo dei dati              | 01/01/2019 00:00:00 <-> 01/01/2020 00:00:00   |
| Ore totali                    | 8761  |
| Calmet File Dataset           | Version: 2.1  |
| Meteorological Grid           | origine: 261905,0 X(m); 4432953,0 Y(m) 34N ; numero punti: 20 x 20; dimensione cella; 1000,0 DX(m) x 1000,0 DY(m) |
| Punto selezionato nel dominio | 1,1 (i,j); 262405,0 X(m); 4433453,0 Y(m); 0 Q(m)  |





| SECTORS       | V1 (< 0,3) | V2 (0,3 - 2,3) | V3 (2,3 - 3,9) | V4 (3,9 - 6,5) | V5 (6,5 - 12,0) | V6 (> 12,0) | Totale  | Vmed |
|---------------|------------|----------------|----------------|----------------|-----------------|-------------|---------|------|
| 355,0 - 5,0   | 1,03       | 26,03          | 29,00          | 17,24          | 2,17            | 0,00        | 75,46   | 2,97 |
| 5,0 - 15,0    | 0,57       | 20,32          | 19,75          | 13,13          | 1,83            | 0,00        | 55,59   | 2,99 |
| 15,0 - 25,0   | 0,57       | 16,78          | 12,79          | 10,39          | 2,51            | 0,00        | 43,04   | 3,12 |
| 25,0 - 35,0   | 0,46       | 11,42          | 7,53           | 6,05           | 1,60            | 0,00        | 27,05   | 3,04 |
| 35,0 - 45,0   | 0,57       | 10,84          | 4,91           | 1,83           | 0,23            | 0,00        | 18,38   | 2,18 |
| 45,0 - 55,0   | 1,48       | 6,51           | 2,28           | 0,80           | 0,00            | 0,00        | 11,07   | 1,68 |
| 55,0 - 65,0   | 1,60       | 6,39           | 0,68           | 0,11           | 0,00            | 0,00        | 8,79    | 1,21 |
| 65,0 - 75,0   | 0,80       | 5,37           | 0,57           | 0,23           | 0,00            | 0,00        | 6,96    | 1,28 |
| 75,0 - 85,0   | 0,11       | 5,48           | 0,57           | 0,00           | 0,00            | 0,00        | 6,16    | 1,08 |
| 85,0 - 95,0   | 0,57       | 5,25           | 0,46           | 0,11           | 0,00            | 0,00        | 6,39    | 1,14 |
| 95,0 - 105,0  | 0,57       | 5,02           | 1,26           | 0,34           | 0,00            | 0,00        | 7,19    | 1,40 |
| 105,0 - 115,0 | 0,68       | 8,11           | 1,03           | 0,68           | 0,00            | 0,00        | 10,50   | 1,37 |
| 115,0 - 125,0 | 1,37       | 8,45           | 1,03           | 0,80           | 0,00            | 0,00        | 11,64   | 1,37 |
| 125,0 - 135,0 | 0,46       | 9,59           | 1,83           | 1,14           | 0,80            | 0,00        | 13,81   | 2,03 |
| 135,0 - 145,0 | 0,34       | 12,56          | 3,31           | 2,51           | 0,34            | 0,00        | 19,06   | 2,13 |
| 145,0 - 155,0 | 1,26       | 16,32          | 6,74           | 5,25           | 0,91            | 0,00        | 30,48   | 2,44 |
| 155,0 - 165,0 | 0,34       | 20,43          | 16,21          | 8,22           | 4,22            | 0,00        | 49,43   | 3,06 |
| 165,0 - 175,0 | 0,68       | 21,00          | 16,10          | 15,30          | 2,74            | 0,00        | 55,82   | 3,12 |
| 175,0 - 185,0 | 0,34       | 15,07          | 14,95          | 10,27          | 2,40            | 0,00        | 43,04   | 3,15 |
| 185,0 - 195,0 | 0,68       | 15,30          | 11,42          | 6,28           | 1,48            | 0,00        | 35,16   | 2,81 |
| 195,0 - 205,0 | 0,68       | 15,41          | 6,74           | 3,42           | 0,57            | 0,00        | 26,83   | 2,23 |
| 205,0 - 215,0 | 0,46       | 14,84          | 5,71           | 0,80           | 0,23            | 0,00        | 22,03   | 1,95 |
| 215,0 - 225,0 | 1,14       | 14,50          | 4,57           | 0,23           | 0,11            | 0,00        | 20,55   | 1,62 |
| 225,0 - 235,0 | 0,80       | 11,19          | 3,65           | 0,57           | 0,00            | 0,00        | 16,21   | 1,64 |
| 235,0 - 245,0 | 0,34       | 9,59           | 2,63           | 1,03           | 0,00            | 0,00        | 13,58   | 1,85 |
| 245,0 - 255,0 | 0,68       | 11,53          | 3,54           | 1,48           | 0,00            | 0,00        | 17,24   | 1,83 |
| 255,0 - 265,0 | 1,48       | 8,79           | 2,28           | 2,05           | 0,00            | 0,00        | 14,61   | 1,89 |
| 265,0 - 275,0 | 0,91       | 9,25           | 2,51           | 0,68           | 0,00            | 0,00        | 13,36   | 1,64 |
| 275,0 - 285,0 | 1,14       | 9,47           | 2,28           | 0,57           | 0,00            | 0,00        | 13,47   | 1,51 |
| 285,0 - 295,0 | 0,57       | 9,47           | 1,71           | 1,14           | 0,00            | 0,00        | 12,90   | 1,74 |
| 295,0 - 305,0 | 1,03       | 13,93          | 4,11           | 0,80           | 0,00            | 0,00        | 19,86   | 1,71 |
| 305,0 - 315,0 | 0,80       | 20,32          | 5,82           | 2,63           | 0,00            | 0,00        | 29,57   | 1,89 |
| 315,0 - 325,0 | 1,37       | 23,06          | 8,45           | 3,42           | 0,00            | 0,00        | 36,30   | 1,97 |
| 325,0 - 335,0 | 2,05       | 34,36          | 14,61          | 5,25           | 0,46            | 0,00        | 56,74   | 2,13 |
| 335,0 - 345,0 | 1,14       | 33,22          | 20,89          | 13,01          | 1,03            | 0,00        | 69,29   | 2,61 |
| 345,0 - 355,0 | 0,80       | 33,68          | 25,00          | 17,47          | 2,85            | 0,00        | 79,79   | 2,93 |
| Variabili     | 0,00       | 0,00           | 0,00           | 0,00           | 0,00            | 0,00        | 0,00    | 0,00 |
| Calme         | 2,63       | 0,00           | 0,00           | 0,00           | 0,00            | 0,00        | 2,63    | 0,00 |
| Totale        | 32,53      | 518,84         | 266,89         | 155,25         | 26,48           | 0,00        | 1000,00 | 0,00 |

Il software Calpuff, utilizzato per lo studio della dispersione, ha un suo metodo di valutazione interno per cui le condizioni di calma di vento rappresentano una situazione meteorologica NORMALE (cfr manuale di utilizzo Calpuff fornito da Maind) e la velocità di soglia è pari a 0,5m/s di default, e tale è stata utilizzata in questo studio.





## 8. Parametri del modello sviluppato

Il modello di simulazione è stato elaborato con le seguenti opzioni:

- è stata calcolata la deposizione secca per i gas e PTS come aerosol;
- è stato considerato il building downwash (1);
- è stato considerato lo stack tip downwash (2);
- è stata considerata la buoyancy induced dispersion (3);
- è stato considerato il gradual plume rise (4);
- è stato considerato lo wind shear verticale sopra i camini.

(1) Il termine building downwash indica l'interazione tra la piuma emessa da un camino e gli edifici circostanti. Questa interazione provoca sempre un aumento di concentrazione al suolo in prossimità del punto di emissione.

(2) Il termine stack tip downwash indica l'interazione tra la piuma emessa e il camino. Quando la velocità di emissione dei fumi è bassa relativamente alla velocità del vento (cioè inferiore a 1.5 volte la velocità del vento), le emissioni possono risentire dell'effetto di scia che si genera sottovento al camino per effetto della sua stessa presenza, e quindi risentire di una spinta verso il basso. Questo effetto, a parità di velocità di emissione e di velocità del vento, aumenta all'aumentare del diametro del camino, cioè del suo ingombro fisico. L'effetto finale di questo fenomeno è di provocare una diminuzione dell'altezza di rilascio. Quando la velocità di emissione è molto maggiore della velocità del vento questo fenomeno non si manifesta.

(3) Il termine buoyancy induced dispersion indica la dispersione aggiuntiva, oltre a quella di origine atmosferica, indotta dal galleggiamento termico della piuma.

(4) Il termine gradual plume rise indica l'opzione che permette di determinare la quota del pennacchio prima che esso raggiunga la sua quota di equilibrio. L'applicazione di questa opzione di simulazione è importante quando si attendono impatti non distanti dal punto di emissione a causa di terreno relativamente complesso.

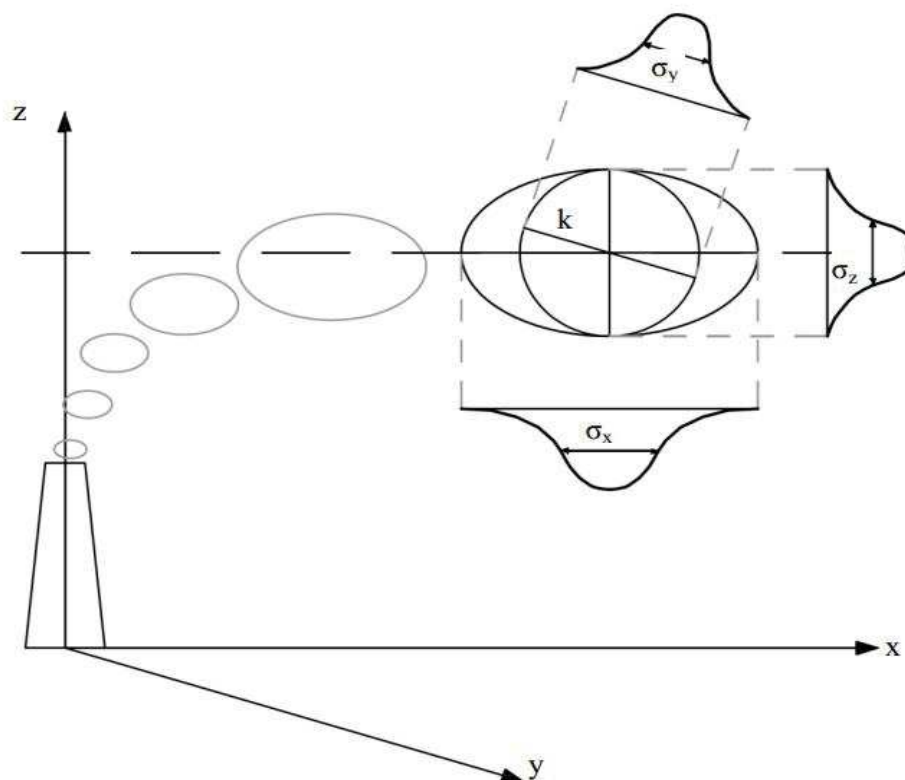
Le funzioni di calcolo sfruttate nel modello utilizzato permettono di stimare le concentrazioni e i livelli di deposizione.

Per quanto riguarda la concentrazione in un generico punto del dominio di calcolo e con massa  $m_{ke}$  coefficienti di dispersione  $\sigma_i$ , la funzione utilizzata è la seguente:



$$C_k(x, y, z, t) = \frac{m_k}{(2\pi)^{1,5} \sigma_x \sigma_y \sigma_z} \exp\left(-\frac{(x-x')^2}{2 \sigma_x^2}\right) \exp\left(-\frac{(y-y')^2}{2 \sigma_y^2}\right) \exp\left(-\frac{(z-z')^2}{2 \sigma_z^2}\right)$$

Per il singolo puff



Andando a considerare l'intero evento

$$C_{TOT}(x, y, z, t) = \sum_k C_k(x, y, z, t)$$

Poiché i recettori discreti considerati sono tutti oltre i 150mt (circa 900mt), dai calcoli di flusso di massa risulta che sia sufficiente lo studio di valutazione modellistica di diffusione del particolato e degli altri inquinanti gassosi con dati sito specifici che è appunto l'argomento di questa relazione tecnica.

La valutazione delle polveri totali è stata riferita ai limiti imposti al PM10, poiché sia per il particolato totale (PTS) sia per il PM2,5, non sono state sviluppate analoghe funzioni di calcolo e quindi non ci sono proposte di soglie emissive. In



tal senso si è operato anche per gli altri parametri gassosi non specificatamente previsti nel modello di diffusione adottato.

### Dati riassunti sul dominio di simulazione

| Informazioni Riassuntive                     |                                   |
|--|-----------------------------------|
| Dominio definito a partire da un file CALMET | Si                                |
| Numero totale recettori                      | 3990                              |
| Recettori del reticolo cartesiano            | 3976                              |
| Recettori discreti                           | 14                                |
| Zona UTM                                     | 34 emisfero nord                  |
| Dominio Meteorologico                        |                                   |
| Coordinate dell'origine Sud Ovest (m)        | 261905,0 X(m); 4432953,0 Y(m) 34N |
| Numero di punti (Nx*Ny)                      | 20 x 20                           |
| Dimensioni della cella (Dx*Dy) (m)           | 1000,0 DX(m) x 1000,0 DY(m)       |
| Dominio di Calcolo                           |                                   |
| Indici dell'angolo Sud Ovest                 | (2, 2)                            |
| Indici dell'angolo Nord Est                  | (19, 19)                          |
| Dominio di Salvataggio dei Dati              |                                   |
| Indici dell'angolo Sud Ovest                 | (5, 3)                            |
| Indici dell'angolo Nord Est                  | (16, 17)                          |
| Fattore di nesting                           | 5                                 |
| Coordinate dell'origine Sud Ovest (m)        | 266305,0 X(m); 4435353,0 Y(m) 34N |

## 9. Risultati dello studio della propagazione degli inquinanti

Qui di seguito vengono riportati i risultati delle simulazioni svolte confrontando questi con i limiti imposti dalla normativa vigente in materia di qualità dell'aria, cioè il D.Lgs 155 del 13 agosto 2010.

Per quanto riguarda il parametro "polveri totali (PTS)", non essendo normato dal decreto sopra citato, si è comunque considerato applicabili i limiti previsti nel DLgs155/10 per il parametro PM10.

Nella seguente Tab.1 sono riportati i parametri con i risultati ottenuti, riferendoli ai recettori in prossimità dell'installazione, posti a 0,25 ÷ 1,20 km di distanza e rappresentati dagli insediamenti abitativi, riferiti ai limiti riportati nel Decreto di cui sopra, quali medie dei periodi di riferimento indicati per legge.



Tab.1 - Valori limite per la protezione della salute umana, degli ecosistemi, della vegetazione e dei valori obiettivo secondo la normativa vigente (D.Lgs. 155/2010 e Decisione 850/UE del 12 dicembre 2011, Allegato 1).

| Parametri  | u.m.              | Recettore<br>A | Recettore<br>B | Recettore<br>C | DLgs 155/10, Valori limite, livello critico, valori obiettivo(*) |                            |                                |
|--|-------------------|----------------|----------------|----------------|--|----------------------------|--------------------------------|
|  |                   |                |                |                | Protezione salute umana  | Protezione vegetazione     |                                |
|  |                   |                |                |                | Valore limite All. XI, p.to1                                     | Valore obiettivo All. XIII | Livello critico All. XI, p.to3 |
| Polveri totali                                   | µg/m <sup>3</sup> | 5,24 E-1       | 4,55 E-1       | 4,42 E-2       | 40   |                            |                                |
| PM10   | µg/m <sup>3</sup> | 3,17E-1        | 2,75E-1        | 2,66E-2        | 40   |                            |                                |
| NOx (NO + NO <sub>2</sub> come NO <sub>2</sub> ) | µg/m <sup>3</sup> | 3,50           | 2,90           | 2,79E-1        | 200 (lim. orario)<br>40 (lim. annuale)                           |                            | 24                             |
| Monossido di Carbonio                            | µg/m <sup>3</sup> | 3,51           | 2,91           | 0,39           | 8 (****)   |                            |                                |
| Carbonio Organico Totale - COT                   | µg/m <sup>3</sup> | 1,76           | 1,46           | 1,41 E-1       |  |                            |                                |
| Ossidi di Zolfo (come SO <sub>2</sub> )          | µg/m <sup>3</sup> | 1,23           | 1,02           | 9,77 E-2       | 350(***)   |                            | 20                             |
| Ammoniaca  | µg/m <sup>3</sup> | 1,13 E-1       | 1,34 E-1       | 1,90 E-1       |  |                            |                                |
| Acido Cloridrico                                 | µg/m <sup>3</sup> | 1,76 E-1       | 1,46 E-1       | 1,42 E-2       |  |                            |                                |
| Acido Fluoridrico                                | µg/m <sup>3</sup> | 1,58 E-1       | 1,17 E-1       | 8,87 E-3       |  |                            |                                |
| Idrocarburi Policiclici Aromatici                | µg/m <sup>3</sup> | 3,37 E-4       | 2,78 E-4       | 2,59 E-5       |  |                            |                                |
| Policlorodibenzodiossine /furani                 | ng/m <sup>3</sup> | 1,36 E-5       | 5,29 E-2       | 1,04 E-6       |  |                            |                                |
| Policlorobifenili                                | µg/m <sup>3</sup> | 5,40 E-2       | 3,64 E-1       | 8,65 E-3       |  |                            |                                |
| Arsenico   | µg/m <sup>3</sup> | 2,34 E-3       | 3,64 E-3       | 6,65 E-4       |  | 5                          |                                |
| Cadmio   | µg/m <sup>3</sup> | 2,34 E-4       | 3,64 E-4       | 6,65 E-5       |  | 5                          |                                |
| Tallio   | µg/m <sup>3</sup> | 2,34 E-4       | 3,64 E-4       | 6,65 E-5       |  |                            |                                |
| Cobalto  | µg/m <sup>3</sup> | 2,34 E-3       | 3,64 E-3       | 6,65 E-4       |  |                            |                                |



|           |                   |          |          |          |     |    |  |
|-----------|-------------------|----------|----------|----------|-----|----|--|
| Cromo     | µg/m <sup>3</sup> | 2,34 E-3 | 3,64 E-3 | 6,65 E-4 |     |    |  |
| Rame      | µg/m <sup>3</sup> | 2,34 E-3 | 3,64 E-3 | 6,65 E-4 |     |    |  |
| Nichel    | µg/m <sup>3</sup> | 2,34 E-3 | 3,64 E-3 | 6,65 E-4 |     | 20 |  |
| Mercurio  | µg/m <sup>3</sup> | 2,34 E-4 | 3,64 E-4 | 6,65 E-5 |     |    |  |
| Manganese | µg/m <sup>3</sup> | 2,34 E-3 | 3,64 E-3 | 6,65 E-4 |     |    |  |
| Piombo    | µg/m <sup>3</sup> | 2,34 E-3 | 3,64 E-3 | 6,65 E-4 | 0,5 |    |  |
| Vanadio   | µg/m <sup>3</sup> | 2,34 E-3 | 3,64 E-3 | 6,65 E-4 |     |    |  |
| Antimonio | µg/m <sup>3</sup> | 2,34 E-3 | 3,64 E-3 | 6,65 E-4 |     |    |  |

(\*): Tutti i limiti in tabella risultano ridotti del 20% secondo la L.R. 7/99 ; (\*\*): Limiti riferiti alla media giornaliera ; (\*\*\*) : Limiti riferiti alla media oraria ; (\*\*\*\*) : limite riferito alla media su 8ore

| Parametri   | u.m.              | Recettore<br>D | Recettore<br>E | Recettore<br>F | DLgs 155/10, Valori limite, livello critico, valori obiettivo(*) |                               |                                   |
|---|-------------------|----------------|----------------|----------------|--|-------------------------------|-----------------------------------|
|   |                   |                |                |                | Protezione salute umana  |                               | Protezione vegetazione            |
|   |                   |                |                |                | Valore limite<br>All. XI, p.to1                                  | Valore obiettivo<br>All. XIII | Livello critico<br>All. XI, p.to3 |
| Polveri totali  | µg/m <sup>3</sup> | 1,14E-1        | 2,15 E-1       | 1,07 E-1       | 40   |                               |                                   |
| PM10  | µg/m <sup>3</sup> | 6,92E-2        | 1,30E-1        | 6,44E-2        | 40   |                               |                                   |
| NO <sub>2</sub> (tutti gli NO <sub>x</sub> come NO <sub>2</sub> ) | µg/m <sup>3</sup> | 6,19E-1        | 9,60E-1        | 5,36E-1        | 200 (lim. orario)<br>40 (lim. annuale)                           |                               | 24                                |
| Monossido di Carbonio   | µg/m <sup>3</sup> | 6,22E-1        | 9,64E-1        | 5,39 E-1       | 8 (****)   |                               |                                   |
| Carbonio Organico Totale - COT                                    | µg/m <sup>3</sup> | 3,12 E-1       | 4,83 E-1       | 2,70 E-1       |  |                               |                                   |
| Ossidi di Zolfo (come SO <sub>2</sub> )                           | µg/m <sup>3</sup> | 2,17 E-1       | 3,36 E-1       | 1,88 E-1       | 350(***)   |                               | 20                                |
| Ammoniaca   | µg/m <sup>3</sup> | 2,61E-2        | 5,95E-2        | 2,47E-2        |  |                               |                                   |
| Acido Cloridrico  | µg/m <sup>3</sup> | 3,12 E-2       | 4,83 E-2       | 2,70 E-2       |  |                               |                                   |
| Acido Fluoridrico   | µg/m <sup>3</sup> | 2,97 E-2       | 4,46 E-2       | 2,55 E-2       |  |                               |                                   |



|                                   |                          |          |          |          |     |    |  |
|-----------------------------------|--------------------------|----------|----------|----------|-----|----|--|
| Idrocarburi Policiclici Aromatici | $\mu\text{g}/\text{m}^3$ | 5,88 E-5 | 9,13 E-5 | 5,10 E-5 |     |    |  |
| Policlorodibenzodiossine /furani  | $\text{ng}/\text{m}^3$   | 2,39 E-6 | 3,07 E-6 | 2,07 E-6 |     |    |  |
| Policlorobifenili                 | $\mu\text{g}/\text{m}^3$ | 6,83 E-3 | 1,15 E-2 | 5,82 E-3 |     |    |  |
| Arsenico                          | $\mu\text{g}/\text{m}^3$ | 1,86 E-4 | 4,69 E-4 | 1,94 E-4 |     | 5  |  |
| Cadmio                            | $\mu\text{g}/\text{m}^3$ | 1,86 E-5 | 4,69 E-5 | 1,94 E-5 |     | 5  |  |
| Tallio                            | $\mu\text{g}/\text{m}^3$ | 1,86 E-5 | 4,69 E-5 | 1,94 E-5 |     |    |  |
| Cobalto                           | $\mu\text{g}/\text{m}^3$ | 1,86 E-4 | 4,69 E-4 | 1,94 E-4 |     |    |  |
| Cromo                             | $\mu\text{g}/\text{m}^3$ | 1,86 E-4 | 4,69 E-4 | 1,94 E-4 |     |    |  |
| Rame                              | $\mu\text{g}/\text{m}^3$ | 1,86 E-4 | 4,69 E-4 | 1,94 E-4 |     |    |  |
| Nichel                            | $\mu\text{g}/\text{m}^3$ | 1,86 E-4 | 4,69 E-4 | 1,94 E-4 |     | 20 |  |
| Mercurio                          | $\mu\text{g}/\text{m}^3$ | 1,86 E-5 | 4,69 E-5 | 1,94 E-5 |     |    |  |
| Manganese                         | $\mu\text{g}/\text{m}^3$ | 1,86 E-4 | 4,69 E-4 | 1,94 E-4 |     |    |  |
| Piombo                            | $\mu\text{g}/\text{m}^3$ | 1,86 E-4 | 4,69 E-4 | 1,94 E-4 | 0,5 |    |  |
| Vanadio                           | $\mu\text{g}/\text{m}^3$ | 1,86 E-4 | 4,69 E-4 | 1,94 E-4 |     |    |  |
| Antimonio                         | $\mu\text{g}/\text{m}^3$ | 1,86 E-4 | 4,69 E-4 | 1,94 E-4 |     |    |  |

|   |                          | <b>Recettore G</b> | <b>Recettore H</b> | <b>Recettore I</b> | <b>DLgs 155/10, Valori limite, livello critico, valori obiettivo(*)</b> |                            |                                |
|---|--------------------------|--------------------|--------------------|--------------------|---|----------------------------|--------------------------------|
| <b>Parametri</b>  | <b>u.m.</b>              |                    |                    |                    | <b>Protezione salute umana</b>  |                            | <b>Protezione vegetazione</b>  |
|   |                          |                    |                    |                    | Valore limite All. XI, p.to1  | Valore obiettivo All. XIII | Livello critico All. XI, p.to3 |
| Polveri totali  | $\mu\text{g}/\text{m}^3$ | 2,83 E-1           | 3,85 E-1           | 3,54 E-1           | 40  |                            |                                |
| PM10  | $\mu\text{g}/\text{m}^3$ | 1,71E-1            | 2,32E-2            | 2,14E-1            | 40  |                            |                                |
| NO <sub>2</sub> (tutti gli NO <sub>x</sub> come NO <sub>2</sub> ) | $\mu\text{g}/\text{m}^3$ | 1,30E-1            | 2,48E-1            | 2,51               | 200 (lim. orario)   |                            | 24                             |



|   |                   |          |          |          |                   |    |    |
|---|-------------------|----------|----------|----------|-------------------|----|----|
|   |                   |          |          |          | 40 (lim. annuale) |    |    |
| Monossido di Carbonio                   | µg/m <sup>3</sup> | 1,30 E-1 | 2,50 E-1 | 2,51 E-1 | 8 (****)          |    |    |
| Carbonio Organico Totale - COT          | µg/m <sup>3</sup> | 6,53 E-1 | 1,26 E-1 | 1,26 E-1 |                   |    |    |
| Ossidi di Zolfo (come SO <sub>2</sub> ) | µg/m <sup>3</sup> | 4,55 E-1 | 8,68 E-2 | 8,77 E-1 | 350(***)          |    | 20 |
| Ammoniaca                               | µg/m <sup>3</sup> | 8,05 E-2 | 1,41 E-2 | 1,52 E-1 |                   |    |    |
| Acido Cloridrico                        | µg/m <sup>3</sup> | 6,54 E-2 | 1,26E-2  | 1,26 E-1 |                   |    |    |
| Acido Fluoridrico                       | µg/m <sup>3</sup> | 5,79 E-2 | 8,85E-3  | 8,05 E-2 |                   |    |    |
| Idrocarburi Policiclici Aromatici       | µg/m <sup>3</sup> | 1,23 E-4 | 2,33 E-5 | 2,40 E-4 |                   |    |    |
| Policlorodibenzodiossine /furani        | ng/m <sup>3</sup> | 5,00 E-6 | 9,34 E-7 | 9,62 E-6 |                   |    |    |
| Policlorobifenili                       | µg/m <sup>3</sup> | 1,54 E-2 | 4,37 E-2 | 4,37 E-2 |                   |    |    |
| Arsenico                                | µg/m <sup>3</sup> | 9,81 E-4 | 4,71 E-4 | 5,73 E-3 |                   | 5  |    |
| Cadmio                                  | µg/m <sup>3</sup> | 9,81 E-5 | 4,71 E-5 | 5,73 E-4 |                   | 5  |    |
| Tallio                                  | µg/m <sup>3</sup> | 9,81 E-5 | 4,71 E-5 | 5,73 E-4 |                   |    |    |
| Cobalto                                 | µg/m <sup>3</sup> | 9,81 E-4 | 4,71 E-4 | 5,73 E-3 |                   |    |    |
| Cromo                                   | µg/m <sup>3</sup> | 9,81 E-4 | 4,71 E-4 | 5,73 E-3 |                   |    |    |
| Rame                                    | µg/m <sup>3</sup> | 9,81 E-4 | 4,71 E-4 | 5,73 E-3 |                   |    |    |
| Nichel                                  | µg/m <sup>3</sup> | 9,81 E-4 | 4,71 E-4 | 5,73 E-3 |                   | 20 |    |
| Mercurio                                | µg/m <sup>3</sup> | 9,81 E-5 | 4,71 E-5 | 5,73 E-4 |                   |    |    |
| Manganese                               | µg/m <sup>3</sup> | 9,81 E-4 | 4,71 E-4 | 5,73 E-3 |                   |    |    |
| Piombo                                  | µg/m <sup>3</sup> | 9,81 E-4 | 4,71 E-4 | 5,73 E-3 | 0,5               |    |    |
| Vanadio                                 | µg/m <sup>3</sup> | 9,81 E-4 | 4,71 E-4 | 5,73 E-3 |                   |    |    |
| Antimonio                               | µg/m <sup>3</sup> | 9,81 E-4 | 4,71 E-4 | 5,73 E-3 |                   |    |    |



| Parametri   | u.m.              | Recettore<br>J | Recettore<br>K | DLgs 155/10, Valori limite, livello critico, valori obiettivo(*) |                            |                                |
|---|-------------------|----------------|----------------|--|----------------------------|--------------------------------|
|   |                   |                |                | Protezione salute umana  |                            | Protezione vegetazione         |
|   |                   |                |                | Valore limite All. XI, p.to1                                     | Valore obiettivo All. XIII | Livello critico All. XI, p.to3 |
| Polveri totali  | µg/m <sup>3</sup> | 4,83 E-2       | 1,47 E-1       |  |                            |                                |
| PM10  | µg/m <sup>3</sup> | 2,91E-2        | 8,90E-2        | 40   |                            |                                |
| NO <sub>2</sub> (tutti gli NO <sub>x</sub> come NO <sub>2</sub> ) | µg/m <sup>3</sup> | 3,02E-1        | 9,96E-1        | 200 (lim. orario)<br>40 (lim. annuale)                           |                            | 24                             |
| Monossido di Carbonio   | µg/m <sup>3</sup> | 3,04 E-1       | 1,00           | 8 (****)   |                            |                                |
| Carbonio Organico Totale - COT                                    | µg/m <sup>3</sup> | 1,53 E-1       | 5,01 E-1       |  |                            |                                |
| Ossidi di Zolfo (come SO <sub>2</sub> )                           | µg/m <sup>3</sup> | 1,06 E-1       | 3,49 E-1       | 350(***)   |                            | 20                             |
| Ammoniaca   | µg/m <sup>3</sup> | 1,87E-2        | 3,44E-2        |  |                            |                                |
| Acido Cloridrico  | µg/m <sup>3</sup> | 1,53 E-2       | 5,02 E-2       |  |                            |                                |
| Acido Fluoridrico   | µg/m <sup>3</sup> | 1,05 E-2       | 4,32 E-2       |  |                            |                                |
| Idrocarburi Policiclici Aromatici                                 | µg/m <sup>3</sup> | 2,85 E-5       | 9,40 E-5       |  |                            |                                |
| Policlorodibenzodiossine /furani                                  | ng/m <sup>3</sup> | 1,14 E-6       | 3,80 E-6       |  |                            |                                |
| Policlorobifenili   | µg/m <sup>3</sup> | 6,92 E-3       | 1,83 E-2       |  |                            |                                |
| Arsenico  | µg/m <sup>3</sup> | 6,10 E-4       | 8,48 E-4       |  | 5                          |                                |
| Cadmio  | µg/m <sup>3</sup> | 6,10 E-5       | 8,48 E-5       |  | 5                          |                                |
| Tallio  | µg/m <sup>3</sup> | 6,10 E-5       | 8,48 E-5       |  |                            |                                |
| Cobalto   | µg/m <sup>3</sup> | 6,10 E-4       | 8,48 E-4       |  |                            |                                |
| Cromo   | µg/m <sup>3</sup> | 6,10 E-4       | 8,48 E-4       |  |                            |                                |
| Rame  | µg/m <sup>3</sup> | 6,10 E-4       | 8,48 E-4       |  |                            |                                |





|           |                   |          |          |     |    |  |
|-----------|-------------------|----------|----------|-----|----|--|
| Nichel    | µg/m <sup>3</sup> | 6,10 E-4 | 8,48 E-4 |     | 20 |  |
| Mercurio  | µg/m <sup>3</sup> | 6,10 E-5 | 8,48 E-5 |     |    |  |
| Manganese | µg/m <sup>3</sup> | 6,10 E-4 | 8,48 E-4 |     |    |  |
| Piombo    | µg/m <sup>3</sup> | 6,10 E-4 | 8,48 E-4 | 0,5 |    |  |
| Vanadio   | µg/m <sup>3</sup> | 6,10 E-4 | 8,48 E-4 |     |    |  |
| Antimonio | µg/m <sup>3</sup> | 6,10 E-4 | 8,48 E-4 |     |    |  |

Di seguito si esplicitano le informazioni ricavate dalla modellistica di diffusione del parametro "Polveri totali" riferite, come detto precedentemente alla normativa relativa al PM10 relative al punto di massima ricaduta esterno all'impianto

|                | Coordinate di massima ricaduta    | u.m.              | Valore massima ricaduta | media annuale misurata da centralina Arpa (2019) | Sommatoria tra massima ricaduta e media annuale misurata | Valore limite annuale riferito al PM10 |
|----------------|-----------------------------------|-------------------|-------------------------|--|--|--|
| Polveri totali | 271205X(m);<br>4441453Y(m)<br>34N | µg/m <sup>3</sup> | 23,50                   | 26,28(*)   | 49,78  | 40                                     |

(\*): Dato ottenuto raddoppiando il valore medio annuale del PM2,5, stimato quale 50% del PM10 totale nella centralina di Maglie

Di seguito i valori massimi, in µg/m<sup>3</sup> per recettore così come elaborato mediante Calpuff.



Report Recettori Discreti

In questa finestra viene visualizzata la lista di tutti i risultati calcolati nei recettori discreti. Selezionare la tabella clickando sul quadrato in alto a sinistra della tabella; premere i tasti CTRL C per copiare il contenuto della tabella nella clipboard di Windows e i tasti CTRL V per incollare la tabella in un altro programma, ad esempio Excel.

|   | Descrizione      | X (m)  | Y (m)   | Valori medi | Valori massimi | Percentuale dati validi |
|---|------------------|--------|---------|-------------|----------------|-------------------------|
| ▶ | REC. Disc. n. 1  | 271374 | 4442129 | 5,24E-001   | 1,08E+001      | 100,0%                  |
|   | REC. Disc. n. 2  | 271408 | 4442012 | 4,55E-001   | 7,06E+000      | 100,0%                  |
|   | REC. Disc. n. 3  | 272635 | 4441906 | 4,42E-002   | 7,77E+000      | 100,0%                  |
|   | REC. Disc. n. 4  | 271658 | 4442273 | 1,14E-001   | 1,13E+001      | 100,0%                  |
|   | REC. Disc. n. 5  | 271661 | 4442056 | 2,15E-001   | 1,04E+001      | 100,0%                  |
|   | REC. Disc. n. 6  | 271663 | 4442375 | 1,07E-001   | 1,94E+001      | 100,0%                  |
|   | REC. Disc. n. 7  | 271509 | 4442730 | 2,83E-001   | 1,13E+001      | 100,0%                  |
|   | REC. Disc. n. 8  | 270765 | 4442424 | 3,85E-002   | 9,20E+000      | 100,0%                  |
|   | REC. Disc. n. 9  | 271360 | 4441857 | 3,54E-001   | 1,21E+001      | 100,0%                  |
|   | REC. Disc. n. 10 | 272216 | 4442502 | 4,83E-002   | 1,17E+001      | 100,0%                  |
|   | REC. Disc. n. 11 | 271184 | 4442768 | 1,47E-001   | 1,17E+001      | 100,0%                  |

Ok

Andando a considerare direttamente il solo PM10 secondo quanto valutato in precedenza, i dati ottenuti sono i seguenti.

|              | Coordinate di massima ricaduta    | u.m.                     | Valore massima ricaduta | media annuale misurata da centralina Arpa (2019) | Sommatoria tra massima ricaduta e media annuale misurata | Valore limite annuale |
|--------------|-----------------------------------|--------------------------|-------------------------|--|--|-----------------------|
| Polveri PM10 | 271205X(m);<br>4441453Y(m)<br>34N | $\mu\text{g}/\text{m}^3$ | 14,10                   | 26,28(*)   | 40,38  | 40                    |

Di seguito i valori massimi, in  $\mu\text{g}/\text{m}^3$  per recettore così come elaborato mediante Calpuff.

Report Recettori Discreti

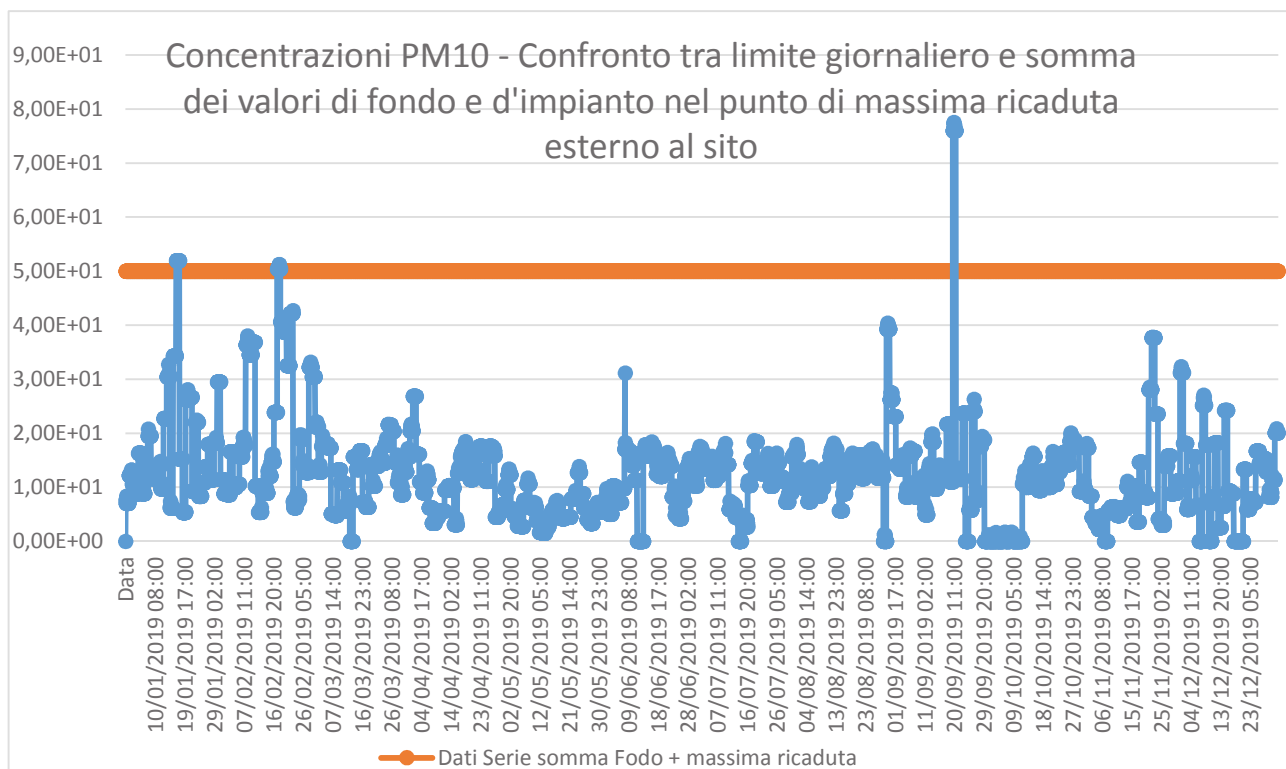
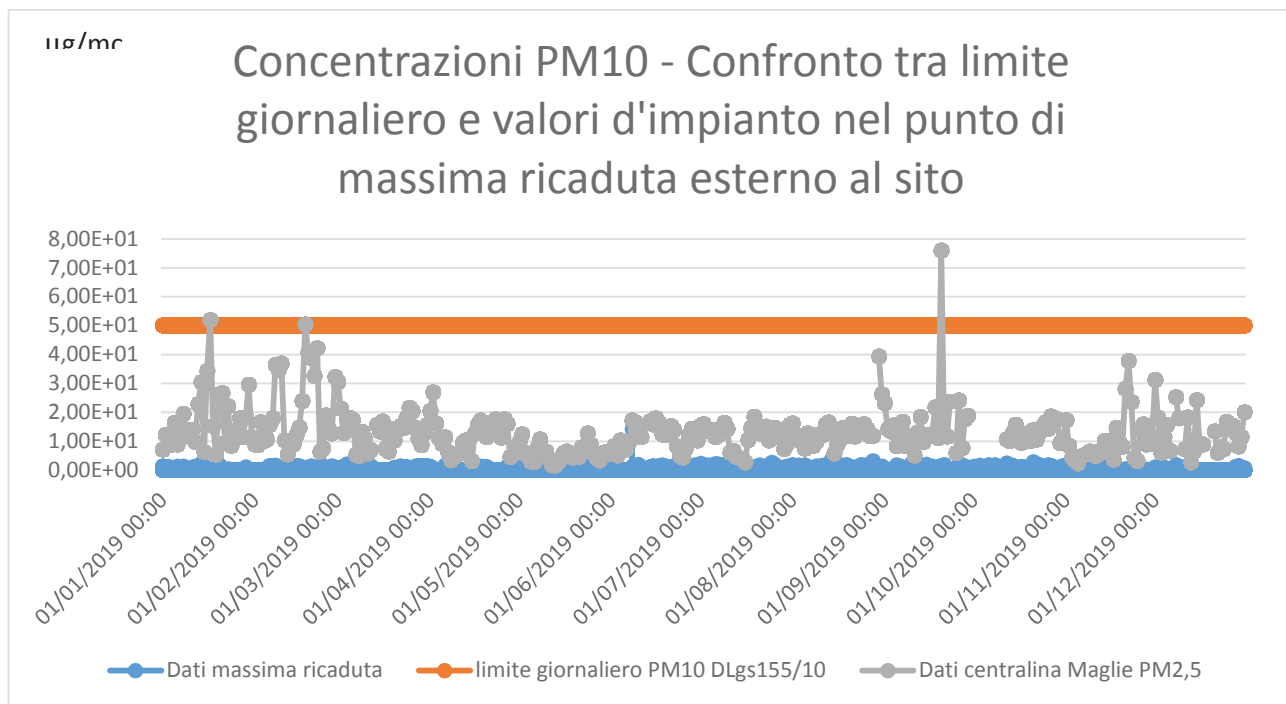
In questa finestra viene visualizzata la lista di tutti i risultati calcolati nei recettori discreti. Selezionare la tabella clickando sul quadrato in alto a sinistra della tabella; premere i tasti CTRL C per copiare il contenuto della tabella nella clipboard di Windows e i tasti CTRL V per incollare la tabella in un altro programma, ad esempio Excel.

|   | Descrizione       | X (m)  | Y (m)   | Valori medi | Valori massimi | Percentuale dati validi |
|---|-------------------|--------|---------|-------------|----------------|-------------------------|
| ▶ | REC. Disc. n. 1   | 271374 | 4442129 | 3,17E-001   | 6,52E+000      | 100,0%                  |
|   | REC. Disc. n. 2   | 271408 | 4442012 | 2,75E-001   | 4,25E+000      | 100,0%                  |
|   | REC. Disc. n. 3   | 272635 | 4441906 | 2,66E-002   | 4,66E+000      | 100,0%                  |
|   | REC. Disc. n. 4   | 271658 | 4442273 | 6,92E-002   | 6,89E+000      | 100,0%                  |
|   | REC. Disc. n. 5   | 271661 | 4442056 | 1,30E-001   | 6,29E+000      | 100,0%                  |
|   | REC. Disc. n. 6   | 271663 | 4442375 | 6,44E-002   | 1,18E+001      | 100,0%                  |
|   | REC. Disc. n. 7   | 271509 | 4442730 | 1,71E-001   | 6,86E+000      | 100,0%                  |
|   | REC. Disc. n. 8   | 270765 | 4442424 | 2,32E-002   | 5,54E+000      | 100,0%                  |
|   | REC. Disc. n. 9   | 271360 | 4441857 | 2,14E-001   | 7,27E+000      | 100,0%                  |
|   | REC. Disc. n. ... | 272216 | 4442502 | 2,91E-002   | 7,02E+000      | 100,0%                  |
|   | REC. Disc. n. ... | 271184 | 4442768 | 8,90E-002   | 7,12E+000      | 100,0%                  |

Ok

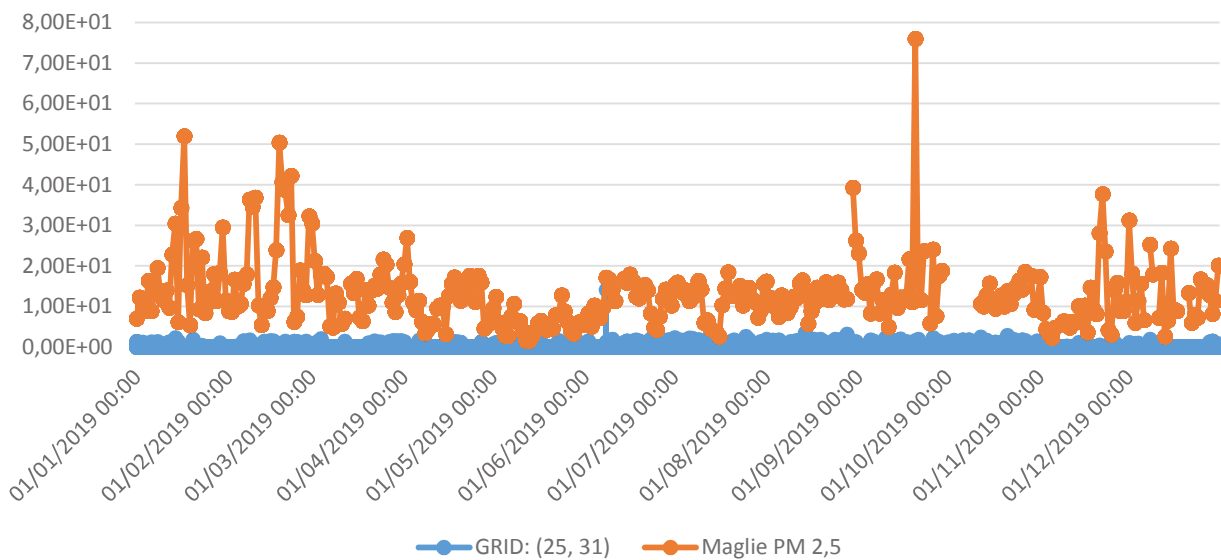


Di seguito vengono riportati in grafico, vengono riportati in grafico gli andamenti annuali del PM10 rispetto ai valori di fondo misurati dalla centralina Arpa e al limite giornaliero imposto dalla normativa di riferimento, nel punto di massima ricaduta esterno al sito produttivo e la sommatoria del valore calcolato più il fondo misurato, avente coordinate 271205X(m); 4441453Y(m) 34N.





### Concentrazioni PM10 - Confronto tra valori di fondo e d'impianto nel punto di massima ricaduta esterno al sito



Per quanto riguarda gli NO<sub>x</sub>, considerati conservativamente come se fossero tutti NO<sub>2</sub> e quindi riferiti a tale analita, qui di seguito vengono riportati i dati di ricaduta massimi (mediati su base oraria) annuali, nel punto di massima ricaduta esterno all'impianto.

|                 | Coordinate di massima ricaduta    | u.m.              | Valore medio annuale (media oraria) | media annuale misurata da centralina Arpa (2019) | Sommatoria tra media annuale e media oraria annuale misurata | Valore limite annuale medio                |
|-----------------|-----------------------------------|-------------------|-------------------------------------|--|--|--|
| NO <sub>2</sub> | 271205X(m);<br>4441453Y(m)<br>34N | µg/m <sup>3</sup> | 20,02                               | 12,60  | 32,62  | 200 (lim. orario)<br><br>40 (lim. annuale) |

Di seguito i valori massimi, in µg/m<sup>3</sup> per recettore così come elaborato mediante Calpuff per il parametro NO<sub>2</sub> considerati come precedentemente esposto.



Report Recettori Discreti

In questa finestra viene visualizzata la lista di tutti i risultati calcolati nei recettori discreti. Selezionare la tabella clickando sul quadrato in alto a sinistra della tabella; premere i tasti CTRL C per copiare il contenuto della tabella nella clipboard di Windows e i tasti CTRL V per incollare la tabella in un altro programma, ad esempio Excel.

|   | Descrizione      | X (m)  | Y (m)   | Valori medi | Valori massimi | Percentuale dati validi |
|---|------------------|--------|---------|-------------|----------------|-------------------------|
| ▶ | REC. Disc. n. 1  | 271374 | 4442129 | 3,50E+000   | 7,56E+001      | 100,0%                  |
|   | REC. Disc. n. 2  | 271408 | 4442012 | 2,90E+000   | 6,07E+001      | 100,0%                  |
|   | REC. Disc. n. 3  | 272635 | 4441906 | 2,79E-001   | 7,02E+001      | 100,0%                  |
|   | REC. Disc. n. 4  | 271658 | 4442273 | 6,19E-001   | 1,07E+002      | 100,0%                  |
|   | REC. Disc. n. 5  | 271661 | 4442056 | 9,60E-001   | 6,01E+001      | 100,0%                  |
|   | REC. Disc. n. 6  | 271663 | 4442375 | 5,36E-001   | 1,29E+002      | 100,0%                  |
|   | REC. Disc. n. 7  | 271509 | 4442730 | 1,30E+000   | 9,24E+001      | 100,0%                  |
|   | REC. Disc. n. 8  | 270765 | 4442424 | 2,48E-001   | 7,73E+001      | 100,0%                  |
|   | REC. Disc. n. 9  | 271360 | 4441857 | 2,51E+000   | 8,91E+001      | 100,0%                  |
|   | REC. Disc. n. 10 | 272216 | 4442502 | 3,02E-001   | 9,50E+001      | 100,0%                  |
|   | REC. Disc. n. 11 | 271184 | 4442768 | 9,96E-001   | 1,10E+002      | 100,0%                  |

Ok

Nella tabella seguente invece vengono riportati i valori massimi di concentrazione di NO<sub>2</sub> rilevati nel punto di massima ricaduta esterna all'impianto. Come si potrà rilevare dalla simulazione il valore limite di 200µg/m<sup>3</sup> è stato superato una sola volta nel corso dell'anno di riferimento, esattamente il 08/06/2019 alle 04:00:00

Informazioni

Dati calcolati: Specie chimica: NO<sub>2</sub> (µg/m<sup>3</sup>):  
 Periodo: 01/01/2019 00:00:00 <-> 31/12/2019 23:00:00

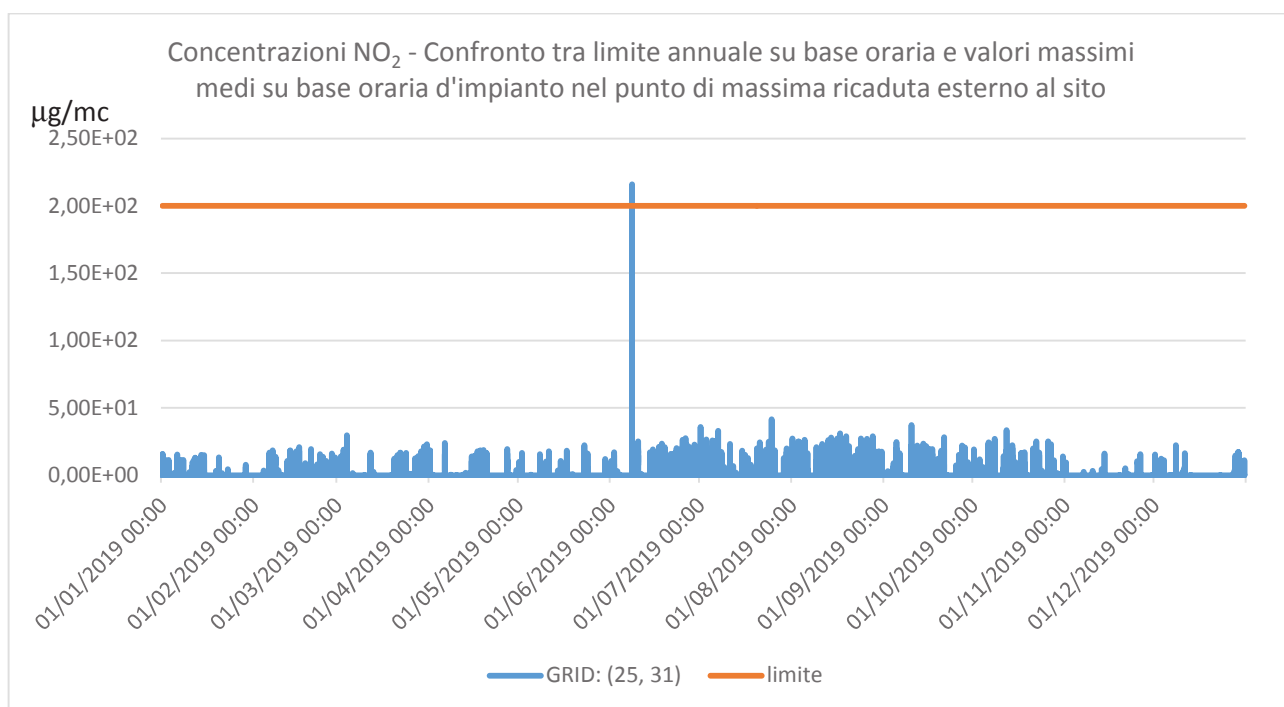
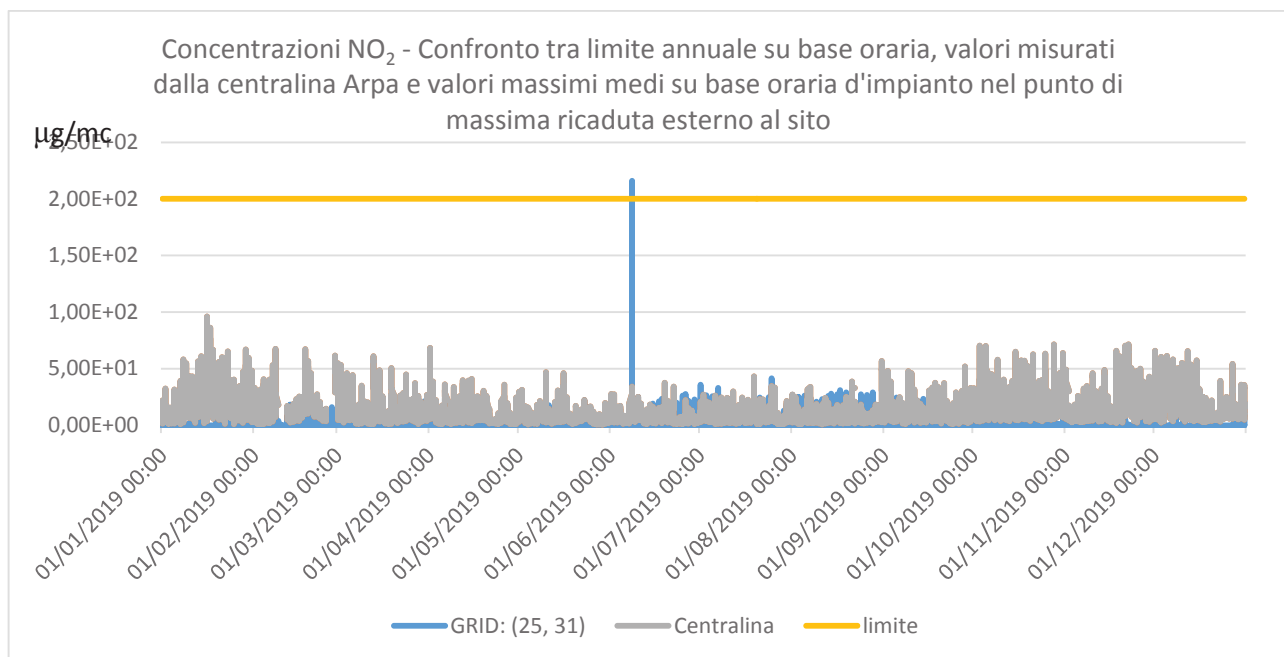
Copia

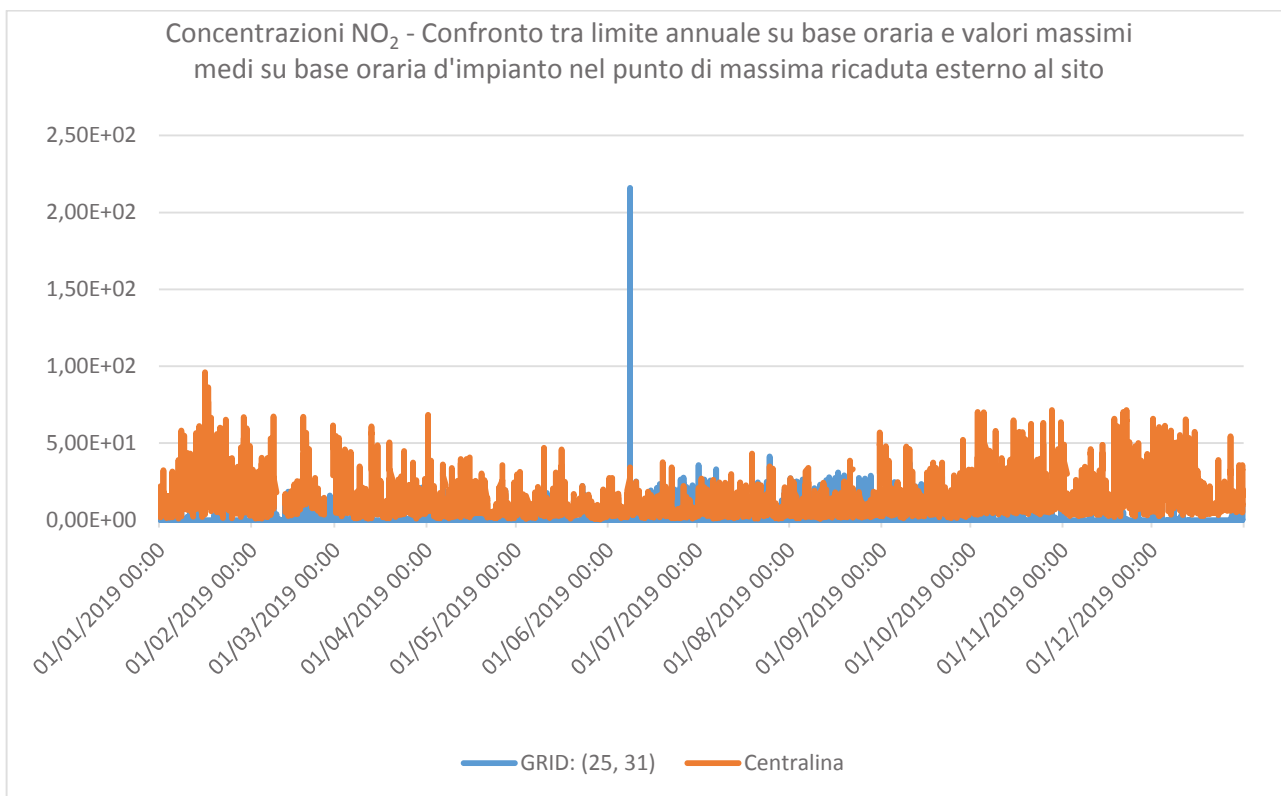
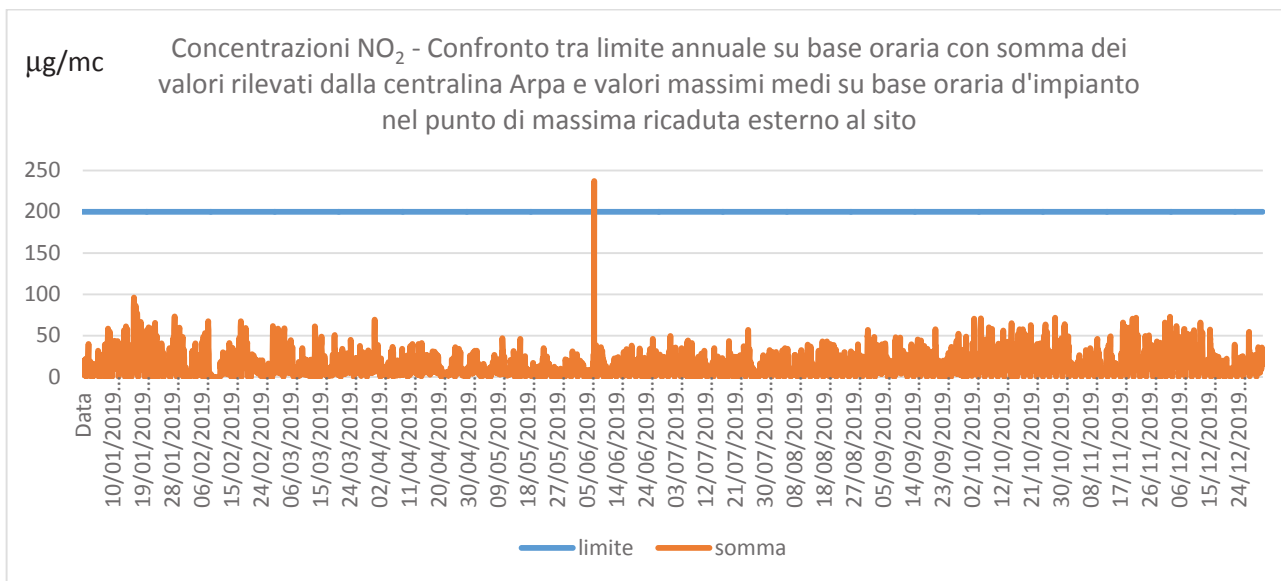
| Elemento                | Valore                            |
|-------------------------|-----------------------------------|
| List of Discrete Points |                                   |
| P1                      | P1 - GRID: [25, 31]               |
| P1 - GRID: [25, 31]     |                                   |
| Valore minimo           | 0,00E+000 - [01/01/2019 16:00:00] |
| Valore medio            | 1,39E+000                         |
| Valore massimo 1        | 2,16E+002 - [08/06/2019 04:00:00] |
| Valore massimo 2        | 4,14E+001 - [25/07/2019 20:00:00] |
| Valore massimo 3        | 3,73E+001 - [10/09/2019 20:00:00] |
| Valore massimo 4        | 3,58E+001 - [01/10/2019 18:00:00] |
| Valore massimo 5        | 3,34E+001 - [12/10/2019 18:00:00] |
| Valore massimo 6        | 3,30E+001 - [07/07/2019 06:00:00] |
| Valore massimo 7        | 3,10E+001 - [17/08/2019 19:00:00] |
| Valore massimo 8        | 2,95E+001 - [04/03/2019 06:00:00] |
| Valore massimo 9        | 2,90E+001 - [19/08/2019 05:00:00] |
| Valore massimo 10       | 2,89E+001 - [28/08/2019 19:00:00] |
| Valore massimo 11       | 2,82E+001 - [21/09/2019 18:00:00] |
| Valore massimo 12       | 2,79E+001 - [14/08/2019 04:00:00] |
| Valore massimo 13       | 2,75E+001 - [26/06/2019 13:00:00] |
| Valore massimo 14       | 2,73E+001 - [16/08/2019 14:00:00] |
| Valore massimo 15       | 2,73E+001 - [24/08/2019 14:00:00] |
| Valore massimo 16       | 2,72E+001 - [01/08/2019 12:00:00] |
| Valore massimo 17       | 2,71E+001 - [08/10/2019 01:00:00] |
| Valore massimo 18       | 2,69E+001 - [26/08/2019 15:00:00] |
| Valore massimo 19       | 2,64E+001 - [03/07/2019 09:00:00] |
| Valore massimo 20       | 2,63E+001 - [25/06/2019 10:00:00] |
| Valore massimo 21       | 2,63E+001 - [05/08/2019 11:00:00] |
| Valore massimo 22       | 2,61E+001 - [26/06/2019 14:00:00] |
| Valore massimo 23       | 2,60E+001 - [13/08/2019 05:00:00] |
| Valore massimo 24       | 2,57E+001 - [05/07/2019 15:00:00] |

Superamento orario



Di seguito vengono riportati in grafico, vengono riportati in grafico gli andamenti annuali dei valori delle medie su base oraria degli NOx come NO2 rispetto ai valori di fondo misurati dalla centralina Arpa e al limite annuale su base oraria imposto dalla normativa di riferimento, nel punto di massima ricaduta esterno al sito produttivo e la sommatoria del valore calcolato più il fondo misurato, avente coordinate 271205X(m), 4441453Y(m).







Di seguito si riportano le informazioni viste per particolato ed NO<sub>2</sub> relative al punto di massima ricaduta esterno all'impianto per quanto riguarda il parametro CO.

|    | Coordinate di massima ricaduta     | u.m.              | Valore massima ricaduta (media mobile su 8 ore) | media sulle 8 ore misurata da centralina Arpa (2019) | Sommatoria tra massima ricaduta e media oraria annuale misurata | Valore limite annuale su media di 8 ore |
|----|------------------------------------|-------------------|---|--|---|---|
| CO | 271374 X(m);<br>4442129Y(m)<br>34N | mg/m <sup>3</sup> | 5,38E-2   | 0,319  | 0,373   | 10                                      |

Di seguito i valori massimi, in µg/m<sup>3</sup> per recettore così come elaborato mediante Calpuff per il parametro CO e nel punto di massima ricaduta sempre come media mobile sulle 8 ore.

Report Recettori Discreti

In questa finestra viene visualizzata la lista di tutti i risultati calcolati nei recettori discreti. Selezionare la tabella clickando sul quadrato in alto a sinistra della tabella; premere i tasti CTRL C per copiare il contenuto della tabella nella clipboard di Windows e i tasti CTRL V per incollare la tabella in un altro programma, ad esempio Excel.

|   | Descrizione      | X (m)  | Y (m)   | Valori medi | Valori massimi | Percentuale dati validi |
|---|------------------|--------|---------|-------------|----------------|-------------------------|
| ▶ | REC. Disc. n. 1  | 271374 | 4442129 | 8,49E-003   | 3,37E-002      | 100,0%                  |
|   | REC. Disc. n. 2  | 271408 | 4442012 | 6,77E-003   | 2,75E-002      | 100,0%                  |
|   | REC. Disc. n. 3  | 272635 | 4441906 | 9,35E-004   | 1,20E-002      | 100,0%                  |
|   | REC. Disc. n. 4  | 271658 | 4442273 | 1,92E-003   | 4,45E-002      | 100,0%                  |
|   | REC. Disc. n. 5  | 271661 | 4442056 | 2,88E-003   | 2,38E-002      | 100,0%                  |
|   | REC. Disc. n. 6  | 271663 | 4442375 | 1,59E-003   | 2,62E-002      | 100,0%                  |
|   | REC. Disc. n. 7  | 271509 | 4442730 | 3,63E-003   | 2,50E-002      | 100,0%                  |
|   | REC. Disc. n. 8  | 270765 | 4442424 | 7,39E-004   | 1,05E-002      | 100,0%                  |
|   | REC. Disc. n. 9  | 271360 | 4441857 | 6,15E-003   | 2,73E-002      | 100,0%                  |
|   | REC. Disc. n. 10 | 272216 | 4442502 | 9,66E-004   | 1,64E-002      | 100,0%                  |
|   | REC. Disc. n. 11 | 271184 | 4442768 | 2,78E-003   | 2,26E-002      | 100,0%                  |

Ok





Informazioni

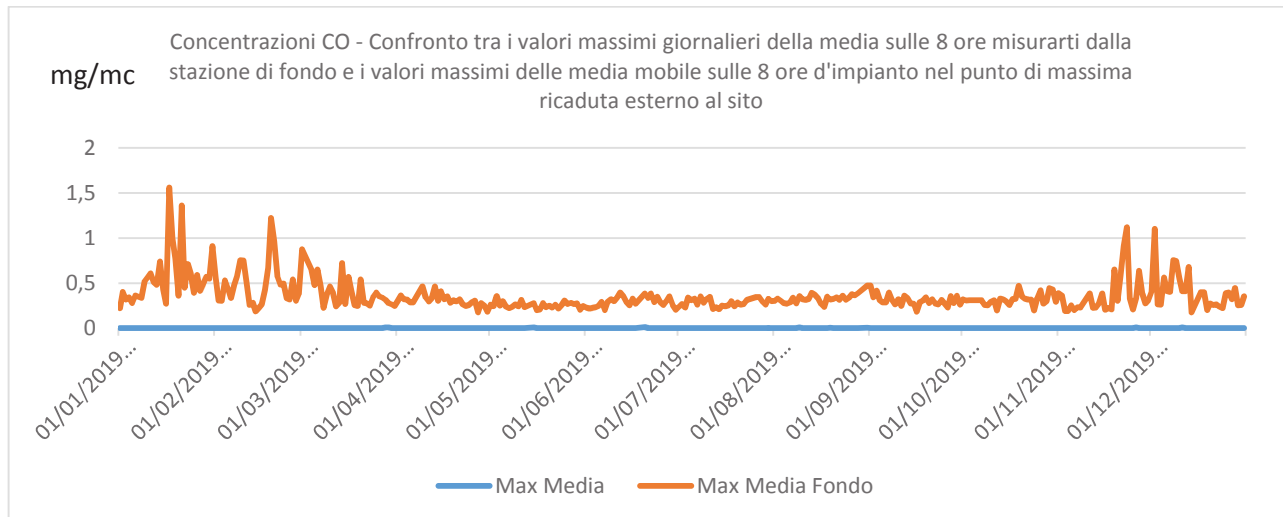
Valori medi in ogni ricezione calcolati sulla media di Media mobile s. Base massima giornaliera

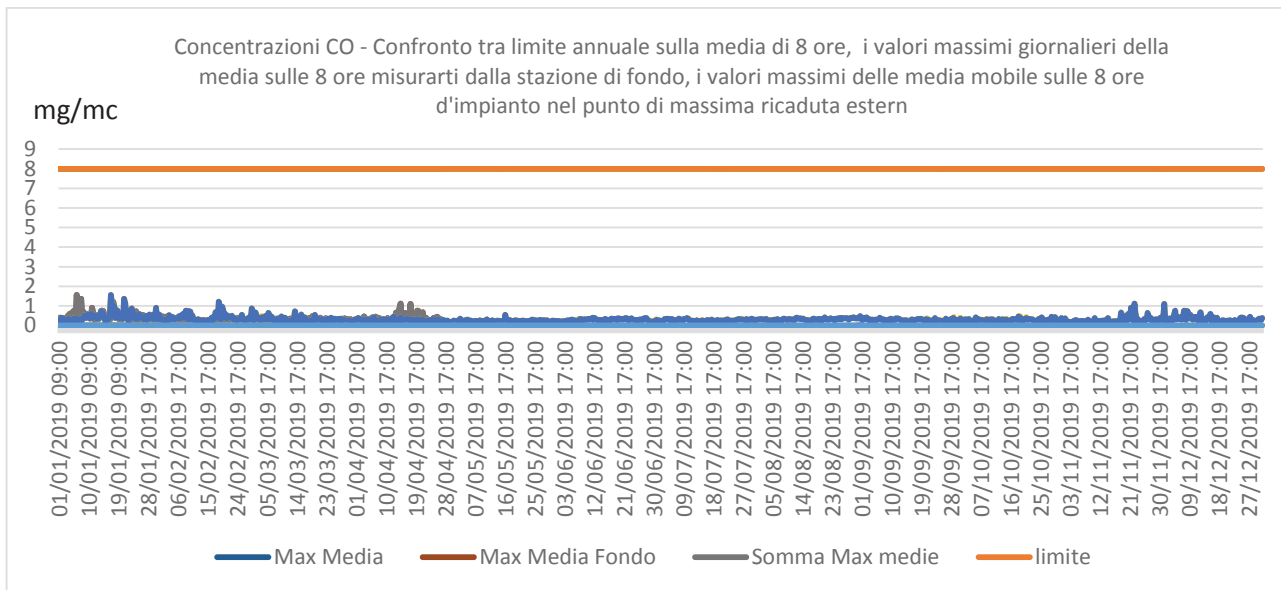
Dati calcolati: Specie chimica: CO (mg/m³)  
 Periodo: 01/01/2019 00:00:00 -> 31/12/2019 23:00:00 (giorni: 365)

Copia

| Elemento               | Valore   |
|------------------------|--|
| Informazioni           |  |
| Coordinate Geografiche | 265326 X(m); 4435353 Y(m) 34N                                  |
| Metodo di misura       | Metodi: Max; 1; Dimensione celer: 2000; 10(m x 20; 11; 11)Y(m) |
| Pericoli               | 11   |
| Valore Massimo         | 1,62E-002; [Posizione: 27: 374 X(m); 4442129 Y(m) 34N]         |
| Valore Minimo          | 1,26E-001; [Posizione: 266105 X(m); 4436053 Y(m) 34N]          |
| Valore Medio           | 7,04E-004  |
| Valori Massimi         |  |
| Valore massimo 1       | 1,62E-002; [Posizione: 27: 374 X(m); 4442129 Y(m) 34N]         |
| Valore massimo 2       | 1,44E-002; [Posizione: 27: 405 X(m); 4442253 Y(m) 34N]         |
| Valore massimo 3       | 1,44E-002; [Posizione: 27: 405 X(m); 4442012 Y(m) 34N]         |
| Valore massimo 4       | 1,54E-002; [Posizione: 27: 405 X(m); 4442012 Y(m) 34N]         |
| Valore massimo 5       | 1,08E-002; [Posizione: 27: 380 X(m); 4441837 Y(m) 34N]         |
| Valore massimo 6       | 1,08E-002; [Posizione: 27: 405 X(m); 4441837 Y(m) 34N]         |
| Valore massimo 7       | 1,08E-002; [Posizione: 27: 405 X(m); 4442533 Y(m) 34N]         |
| Valore massimo 8       | 1,23E-001; [Posizione: 27: 405 X(m); 4442012 Y(m) 34N]         |
| Valore massimo 9       | 7,57E-003; [Posizione: 27: 405 X(m); 4441633 Y(m) 34N]         |
| Valore massimo 10      | 7,53E-003; [Posizione: 27: 305 X(m); 4441833 Y(m) 34N]         |
| Valore massimo 11      | 7,48E-003; [Posizione: 27: 205 X(m); 4442053 Y(m) 34N]         |
| Valore massimo 12      | 7,23E-003; [Posizione: 27: 405 X(m); 4441833 Y(m) 34N]         |
| Valore massimo 13      | 7,17E-003; [Posizione: 27: 205 X(m); 4442833 Y(m) 34N]         |
| Valore massimo 14      | 6,50E-003; [Posizione: 27: 305 X(m); 4441633 Y(m) 34N]         |
| Valore massimo 15      | 6,53E-003; [Posizione: 27: 205 X(m); 4442053 Y(m) 34N]         |
| Valore massimo 16      | 6,49E-003; [Posizione: 27: 305 X(m); 4442730 Y(m) 34N]         |
| Valore massimo 17      | 6,18E-003; [Posizione: 27: 405 X(m); 4442012 Y(m) 34N]         |
| Valore massimo 18      | 6,17E-003; [Posizione: 27: 305 X(m); 4442012 Y(m) 34N]         |
| Valore massimo 19      | 6,03E-003; [Posizione: 27: 205 X(m); 4441633 Y(m) 34N]         |
| Valore massimo 20      | 5,84E-003; [Posizione: 27: 405 X(m); 4441453 Y(m) 34N]         |
| Valore massimo 21      | 5,82E-003; [Posizione: 27: 184 X(m); 4442758 Y(m) 34N]         |
| Valore massimo 22      | 5,18E-003; [Posizione: 27: 405 X(m); 4441453 Y(m) 34N]         |
| Valore massimo 23      | 5,09E-003; [Posizione: 27: 305 X(m); 4441633 Y(m) 34N]         |
| Valore massimo 24      | 5,53E-003; [Posizione: 27: 205 X(m); 4442533 Y(m) 34N]         |
| Valore massimo 25      | 5,04E-003; [Posizione: 27: 405 X(m); 4442253 Y(m) 34N]         |

I grafici seguenti riportano il confronto tra limite annuale sulla media di 8 ore, i valori massimi giornalieri della media sulle 8 ore misurati dalla stazione di fondo, i valori massimi delle media mobile sulle 8 ore d'impianto nel punto di massima ricaduta esterni all'impianto e la somma dei valori precedenti escluso il limite nel punto di massima ricaduta esterni all'impianto avente coordinate 271405X(m), 4442253Y(m).





Si riportano ora le valutazioni per quanto riguarda il parametro SO<sub>2</sub> così come precedentemente fatto per gli altri parametri nel punto di massima ricaduta.

Di seguito i valori massimi, in µg/m<sup>3</sup> per recettore così come elaborato mediante Calpuff per il parametro SO<sub>2</sub> su base giornaliera e su base oraria.

Report Recettori Discreti

In questa finestra viene visualizzata la lista di tutti i risultati calcolati nei recettori discreti. Selezionare la tabella clickando sul quadrato in alto a sinistra della tabella; premere i tasti CTRL C per copiare il contenuto della tabella nella clipboard di Windows e i tasti CTRL V per incollare la tabella in un altro programma, ad esempio Excel.

|   | Descrizione      | X (m)  | Y (m)   | Valori medi | Valori massimi | Percentuale dati validi |
|---|------------------|--------|---------|-------------|----------------|-------------------------|
| ▶ | REC. Disc. n. 1  | 271374 | 4442129 | 1,23E+000   | 6,17E+000      | 100,0%                  |
|   | REC. Disc. n. 2  | 271408 | 4442012 | 1,02E+000   | 5,34E+000      | 100,0%                  |
|   | REC. Disc. n. 3  | 272635 | 4441906 | 9,77E-002   | 1,54E+000      | 100,0%                  |
|   | REC. Disc. n. 4  | 271658 | 4442273 | 2,17E-001   | 7,24E+000      | 100,0%                  |
|   | REC. Disc. n. 5  | 271661 | 4442056 | 3,36E-001   | 3,01E+000      | 100,0%                  |
|   | REC. Disc. n. 6  | 271663 | 4442375 | 1,88E-001   | 3,06E+000      | 100,0%                  |
|   | REC. Disc. n. 7  | 271509 | 4442730 | 4,55E-001   | 3,78E+000      | 100,0%                  |
|   | REC. Disc. n. 8  | 270765 | 4442424 | 8,68E-002   | 1,62E+000      | 100,0%                  |
|   | REC. Disc. n. 9  | 271360 | 4441857 | 8,77E-001   | 4,64E+000      | 100,0%                  |
|   | REC. Disc. n. 10 | 272216 | 4442502 | 1,06E-001   | 2,12E+000      | 100,0%                  |
|   | REC. Disc. n. 11 | 271184 | 4442768 | 3,49E-001   | 4,38E+000      | 100,0%                  |

Ok

Nella tabella seguente invece vengono riportati i valori massimi di concentrazione di SO<sub>2</sub> rilevati nel punto di massima ricaduta esterna



all'impianto. Come si potrà rilevare dalla simulazione il valore limite di 350 µg/m<sup>3</sup> su base oraria e di 125 µg/m<sup>3</sup> su base giornaliera non è stato mai superato.

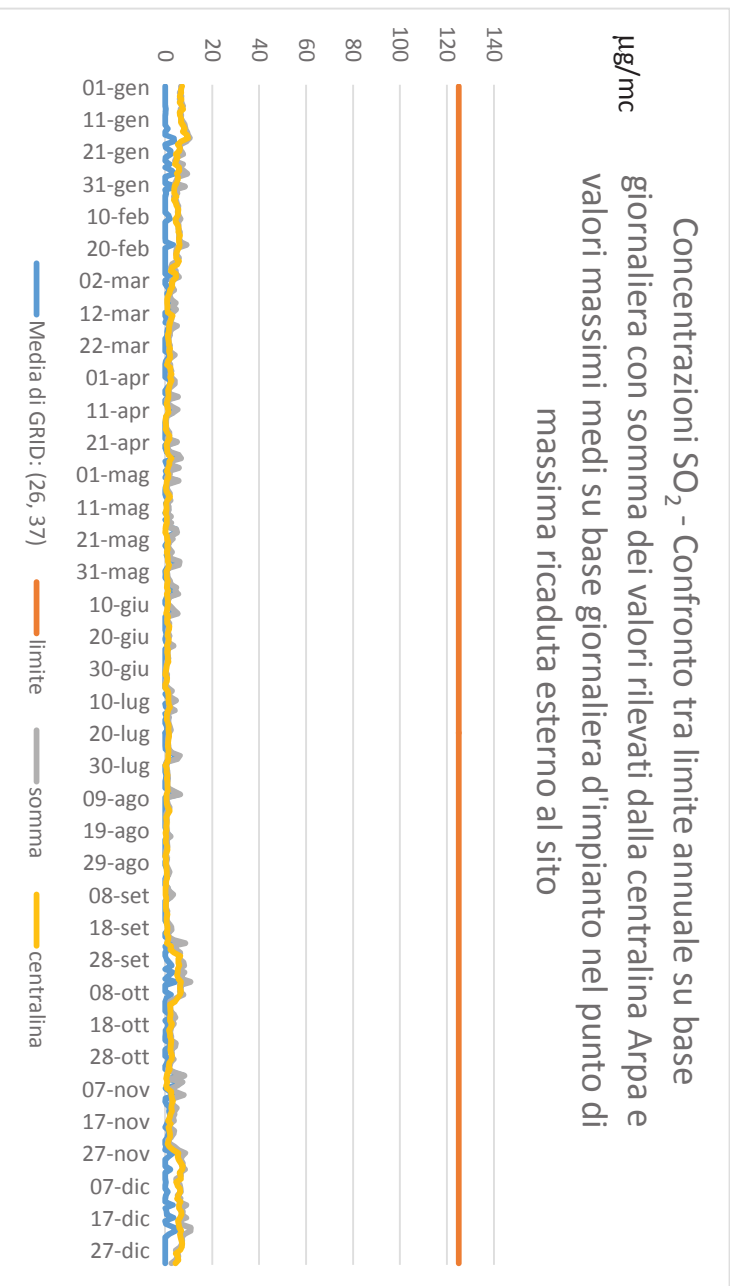
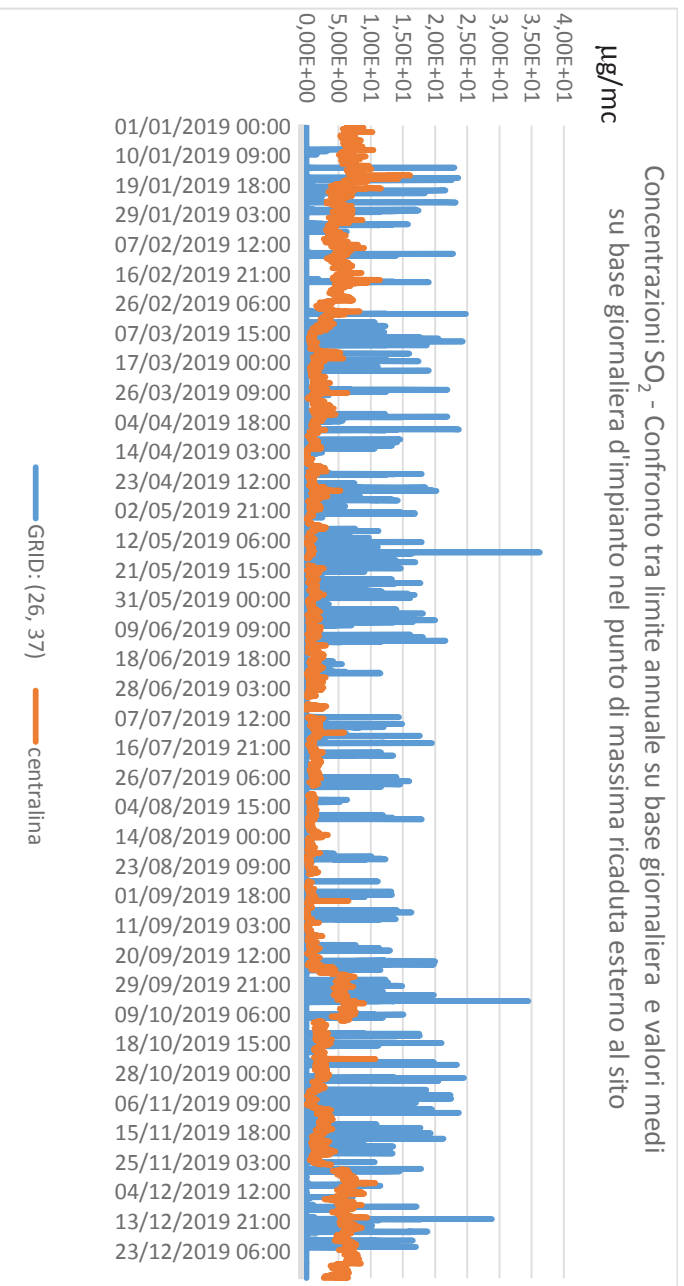
Informazioni

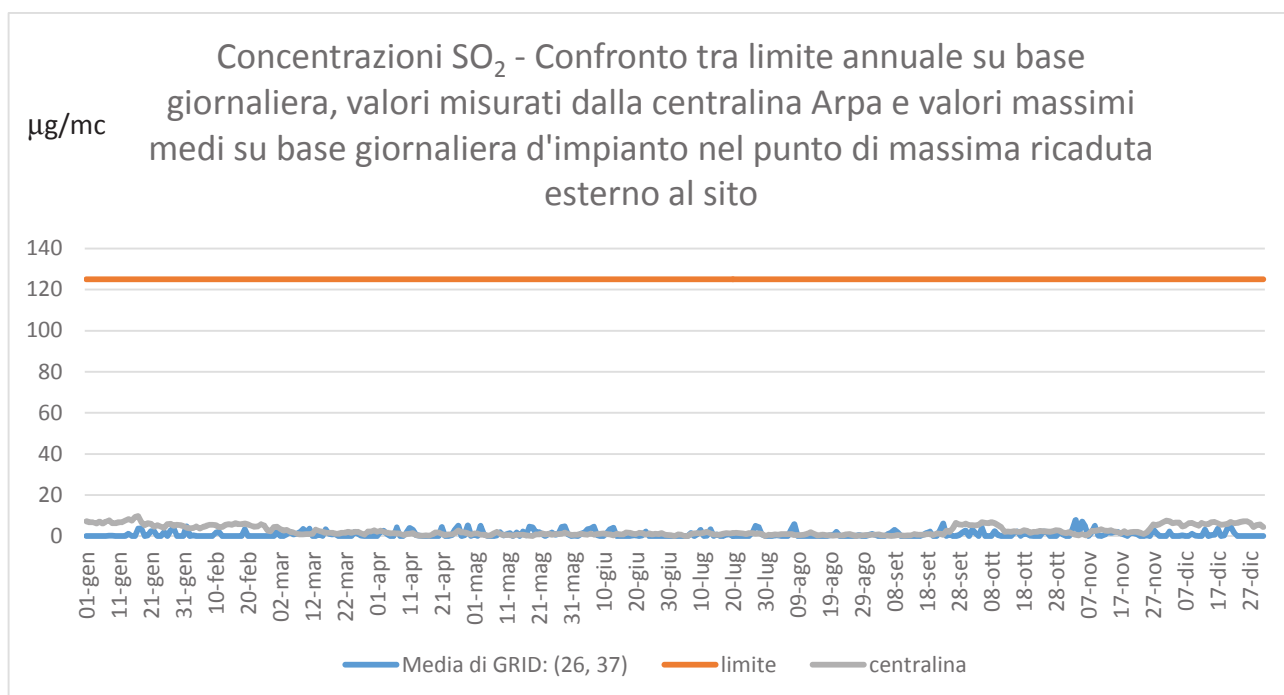
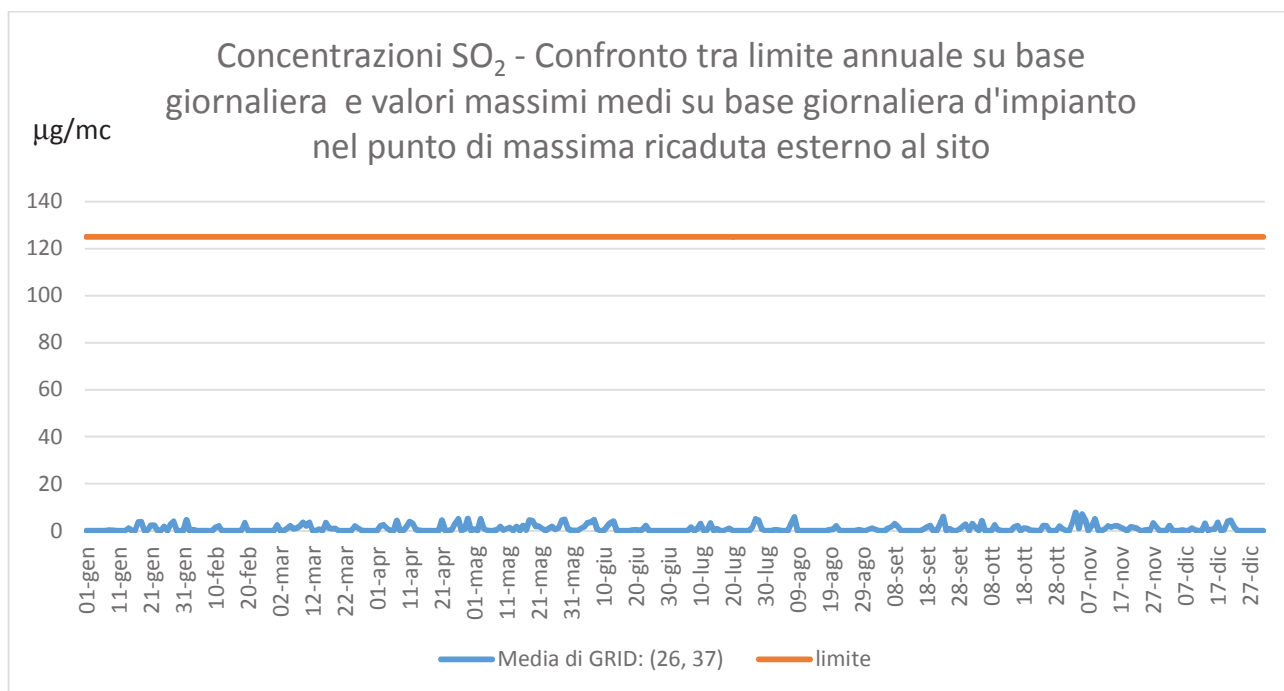
Dati calcolati. Specie chimica: SO2 (µg/m<sup>3</sup>):  
 Periodo: 01/01/2019 00:00:00 <-> 31/12/2019 23:00:00

Copia

| Elemento                | Valore                            |
|-------------------------|-----------------------------------|
| List of Discrete Points |                                   |
| P1                      | P1 - GRID: [26, 37]               |
| P1 - GRID: [26, 37]     |                                   |
| Valore minimo           | 0,00E+000 - [01/01/2019 00:00:00] |
| Valore medio            | 9,30E-001                         |
| Valore massimo 1        | 3,63E+001 - [16/05/2019 04:00:00] |
| Valore massimo 2        | 3,45E+001 - [05/10/2019 06:00:00] |
| Valore massimo 3        | 2,88E+001 - [13/12/2019 07:00:00] |
| Valore massimo 4        | 2,48E+001 - [01/03/2019 16:00:00] |
| Valore massimo 5        | 2,45E+001 - [29/10/2019 15:00:00] |
| Valore massimo 6        | 2,43E+001 - [10/03/2019 10:00:00] |
| Valore massimo 7        | 2,37E+001 - [07/04/2019 05:00:00] |
| Valore massimo 8        | 2,37E+001 - [09/11/2019 17:00:00] |
| Valore massimo 9        | 2,36E+001 - [17/01/2019 14:00:00] |
| Valore massimo 10       | 2,34E+001 - [25/10/2019 12:00:00] |
| Valore massimo 11       | 2,32E+001 - [25/01/2019 08:00:00] |
| Valore massimo 12       | 2,30E+001 - [14/01/2019 08:00:00] |
| Valore massimo 13       | 2,28E+001 - [10/02/2019 15:00:00] |
| Valore massimo 14       | 2,27E+001 - [07/04/2019 04:00:00] |
| Valore massimo 15       | 2,26E+001 - [18/01/2019 08:00:00] |
| Valore massimo 16       | 2,25E+001 - [05/11/2019 06:00:00] |
| Valore massimo 17       | 2,24E+001 - [04/11/2019 03:00:00] |
| Valore massimo 18       | 2,19E+001 - [25/03/2019 16:00:00] |
| Valore massimo 19       | 2,19E+001 - [03/04/2019 05:00:00] |
| Valore massimo 20       | 2,16E+001 - [13/06/2019 04:00:00] |
| Valore massimo 21       | 2,16E+001 - [25/01/2019 07:00:00] |
| Valore massimo 22       | 2,16E+001 - [18/01/2019 03:00:00] |
| Valore massimo 23       | 2,16E+001 - [21/01/2019 13:00:00] |
| Valore massimo 24       | 2,13E+001 - [17/11/2019 21:00:00] |
| Valore massimo 25       | 2,12E+001 - [25/10/2019 11:00:00] |

Di seguito vengono riportati in grafico, gli andamenti annuali dei valori delle medie su base giornaliera e su base oraria degli SO2 rispetto ai valori di fondo misurati dalla centralina Arpa e al limite annuale su base giornaliera imposto dalla normativa di riferimento, nel punto di massima ricaduta esterno al sito produttivo e la sommatoria del valore calcolato più il fondo misurato, avente coordinate 271405X(m), 4442653Y(m).





Come si può rilevare anche graficamente, durante l'anno di riferimento, non si sono rilevati superamenti del limite orario di 125µg/mc imposti dalla normativa.

Di seguito riportiamo in tabella le medie annuali dei valori calcolati su base giornaliera, la somma di tali valori e la media dei valori misurati dalla centralina



di fondo, e il limiti annuali, inferiore e superiore, previsti per la protezione della vegetazione.

|     | Coordinate di massima ricaduta     | u.m.              | Valore massima ricaduta (media giornaliera su 24h) | media annuale misurata da centralina Arpa (2019) (media giornaliera su 24h) | Sommatoria tra massima ricaduta e media oraria annuale misurata | Valore limite annuale (limite inferiore e superiore) |
|-----|------------------------------------|-------------------|--|---|---|--|
| SO2 | 271374 X(m);<br>4442129Y(m)<br>34N | µg/m <sup>3</sup> | 8,70E-1  | 2,61  | 3,48  | 8 (lim. Inf.)<br>12 (lim. sup.)                      |

A seguire la vista satellitare riportante i punti di massima ricaduta esterni all'area di stabilimento e la superficie di pertinenza della fonderia.





## 10. Conclusioni

In tutte le prove di simulazione di diffusione degli inquinanti, non si sono mai superati i limiti imposti dalla legge in materia di qualità dell'aria.

Nella metodologia di calcolo sono stati inseriti i valori di fondo, là dove disponibili, rilevati dalle centraline di Arpa Puglia.

Applicando tali valori e sommandoli alle massime concentrazioni rilevate, nei punti di massima ricaduta all'esterno dell'impianto, si è notato come i valori ottenuti siano sempre estremamente bassi e a volte pressoché ininfluenti sul livello di contaminazione del territorio da parte dello specifico inquinante considerato.

Dalle simulazioni è risultato che il punto di massima ricaduta degli inquinanti si trova mediamente non lontano dalla sorgente stessa, in prossimità del recettore A, il quale comunque insieme alle abitazioni rurali situate più vicino all'impianto non dovrebbero quindi subire gli effetti dell'esercizio della installazione industriale visti i valori ottenuti nei controlli che si sono susseguiti negli anni.

A titolo esemplificativo vengono di seguito riportate l'andamento delle isolinee di concentrazione medie di particolato e degli altri parametri analizzati, oltre alle viste satellitari dell'area interessata dall'impatto dei fumi provenienti dall'installazione, sovrapposte alle isolinee di diffusione e concentrazione degli inquinanti.

In conclusione, si ritiene comunque di dover puntualizzare che chi scrive, ritiene che i valori di fondo siano scarsamente aderenti alla reale situazione di concentrazioni degli inquinanti considerati, poiché l'area in cui è posizionata la stazione di controllo di ARPA Puglia nell'area urbana di Maglie, è totalmente disomogenea rispetto all'area ove è situato l'impianto produttivo della Ruggeri Service (area extraurbana in zona agricola) e, pertanto, come sopra detto, con scarsa aderenza alla situazione di reale livello di inquinamento e di contributo della Ditta in esame. Ad ogni modo, come si vede dai risultati prodotti e



soprattutto dalla rappresentazione grafica dell'andamento annuale del PM10 rinvenente dal sito e quello registrato dalla centralina (sia pur riferito al PM2,5), i superamenti rilevati nulla hanno in comune con le ricadute e la diffusione degli inquinanti derivanti dalla Ruggeri Service.